



VYSOKÉ UČENÍ TECHNICKÉ V BRNĚ
FAKULTA STAVEBNÍ
Ústav kovových a dřevěných konstrukcí

DIPLOMAVÁ PRÁCE

MULTIFUNKČNÍ OBJEKT V ČESKÝCH BUDĚJOVICÍCH

**VÝSTUP Z VÝPOČETNÍHO PROGRAMU SCIA ENGINEER
K ŘEŠENÉ VARIANTĚ**



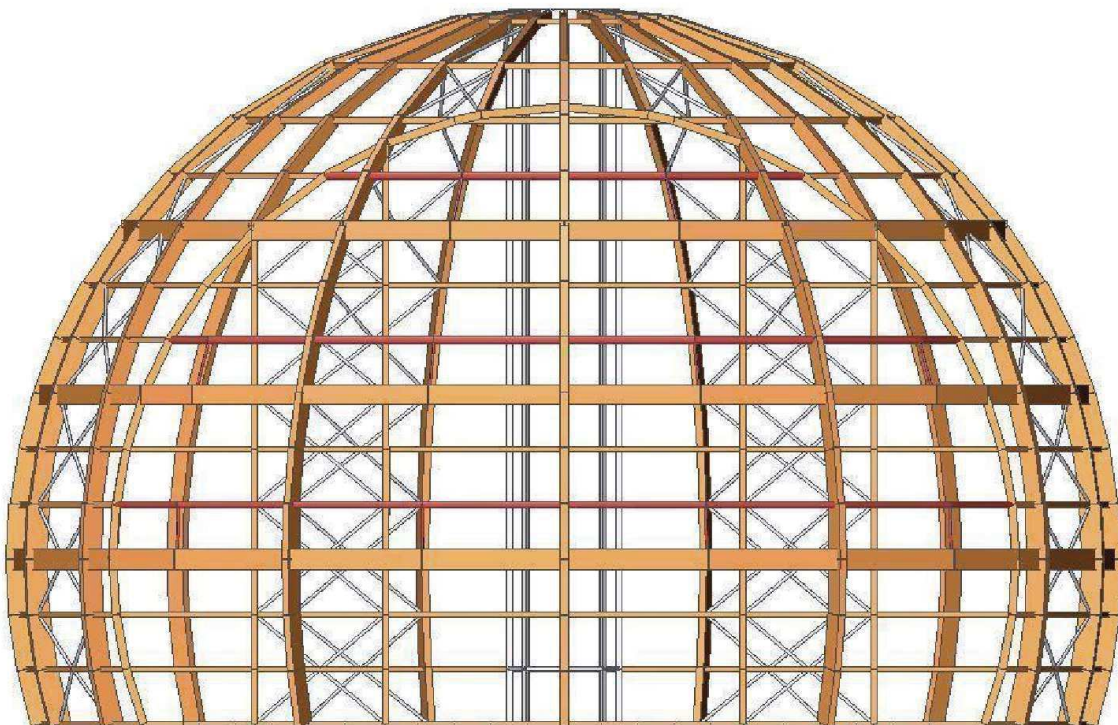
AUTOR PRÁCE: Bc. EVA ŠPAČKOVÁ

ROK 2016

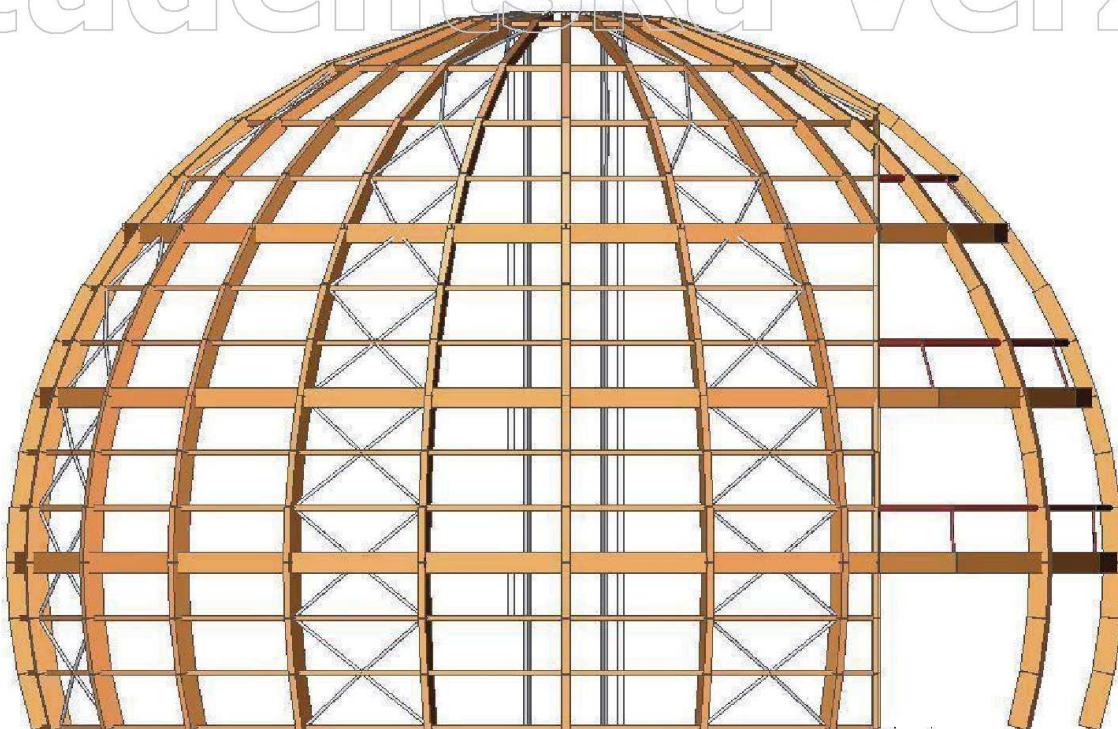
1. Obsah

1. Obsah	1
2. Pohled - osa x	2
3. Pohled - osa y	2
4. Půdorys - pohled osa z	3
5. Perspektiva	5
6. Perspektiva	5
7. Konstrukce z lepeného lamelového dřeva	6
8. Konstrukce z rostlého dřeva	6
9. Konstrukce z oceli	7
10. Výpočetní model_1	7
11. Výpočetní model_2	8
12. Materiály	8
13. Průřezy z lepeného lamelového dřeva	8
14. Průřezy z rostlého dřeva	19
15. Průřezy z oceli	21
16. Přehled zatěžovacích stavů	30
17. Skupiny zatížení	30
18. Kombinace	30
19. Reakce	31
20. Vnitřní síly na prutu - MSÚ	31
21. Posudek oceli	41
22. Data o štíhlosti - dřevo	41
23. Relativní deformace	42
24. Posudek dřeva podle MSÚ	42
25. Posudek dřeva podle MSP	43
26. Deformace na prutu	44
27. Deformace na prutu - ztužidla	44
28. Deformace na prutu - HEA400	45
29. Deformace na prutu - HEA340	45
30. Deformace na prutu - HEA280	46
31. Deformace na prutu - Svislé žebro	46
32. Výkaz materiálu	47
33. Vnitřní síly na prutu - žebro_1	47
34. Vnitřní síly na prutu - žebro_2	47
35. Vnitřní síly na prutu - žebro_3	48
36. Vnitřní síly na prutu - žebro_4	48

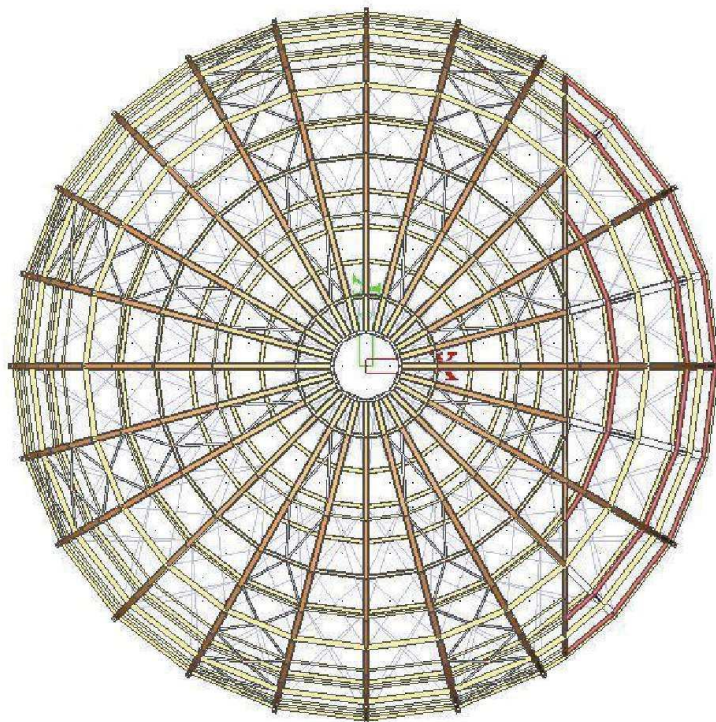
2. Pohled - osa x



3. Pohled - osa y



4. Půdorys - pohled osa z



Studentská verze

Studentská verze

Studentská verze

Studentská verze

5. Perspektiva



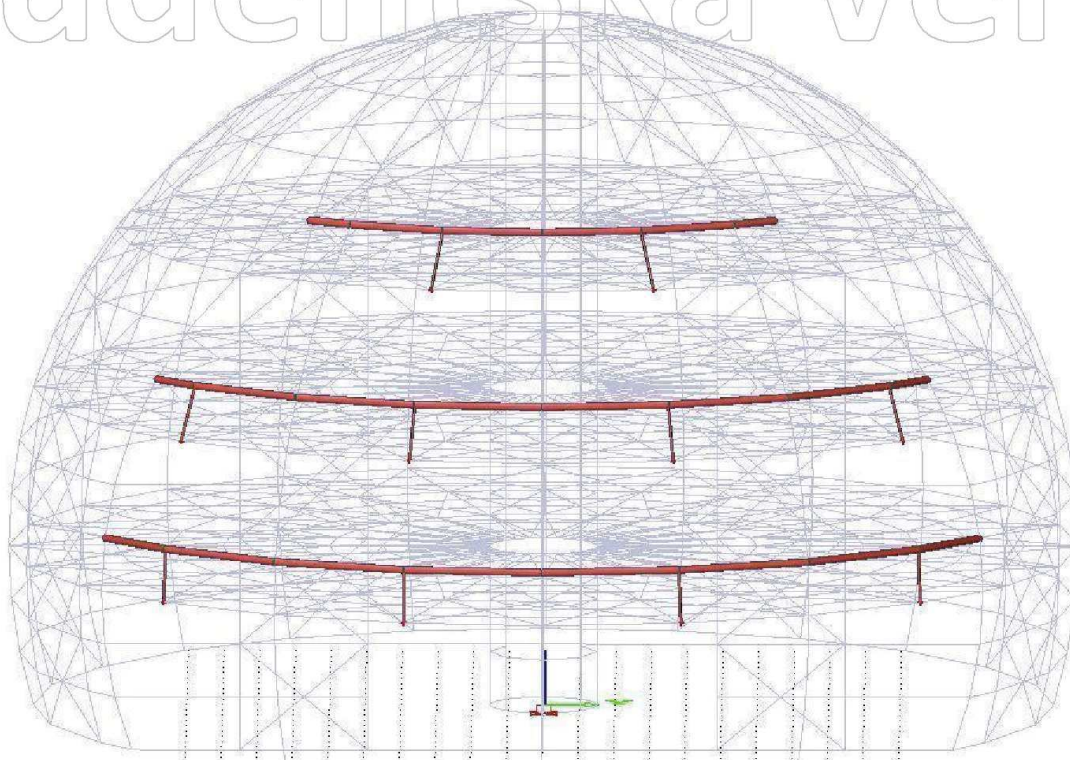
6. Perspektiva



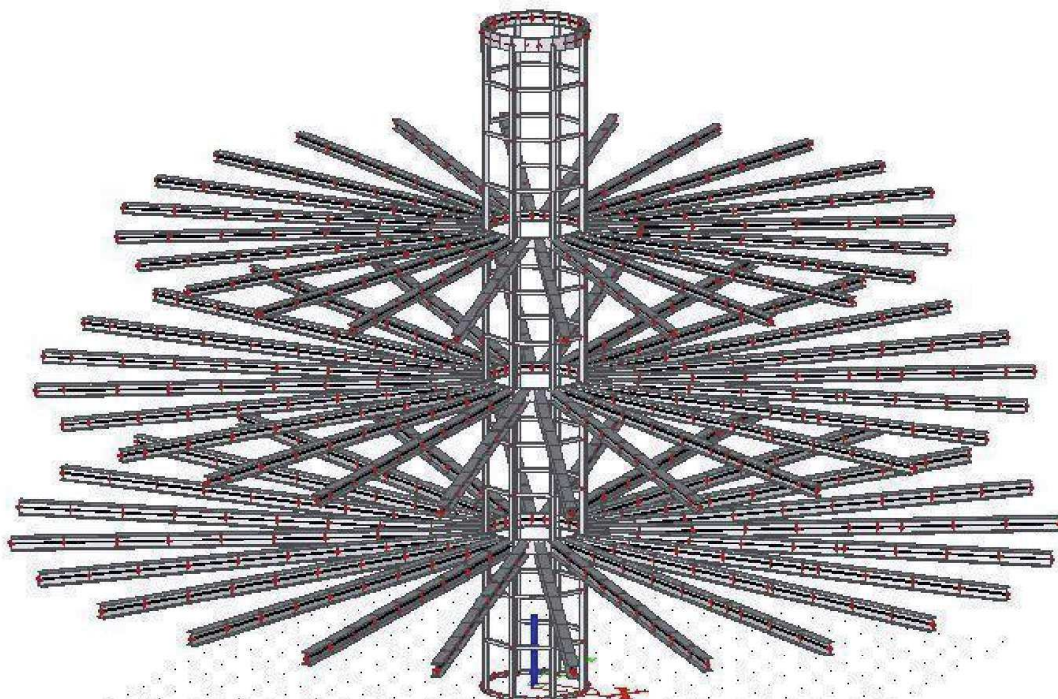
7. Konstrukce z lepeného lamelového dřeva



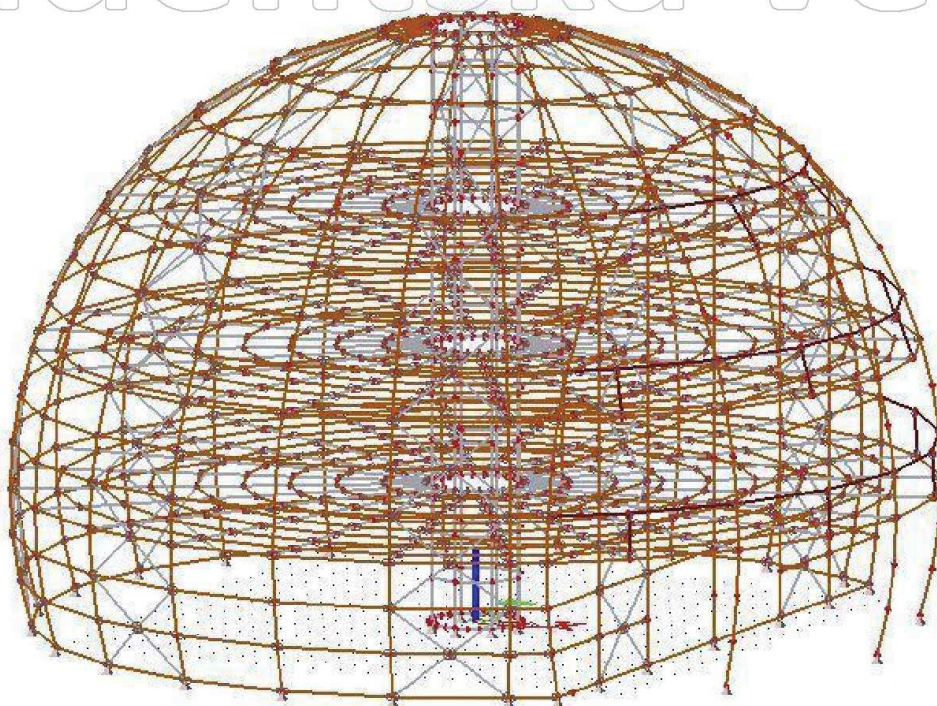
8. Konstrukce z rostlého dřeva



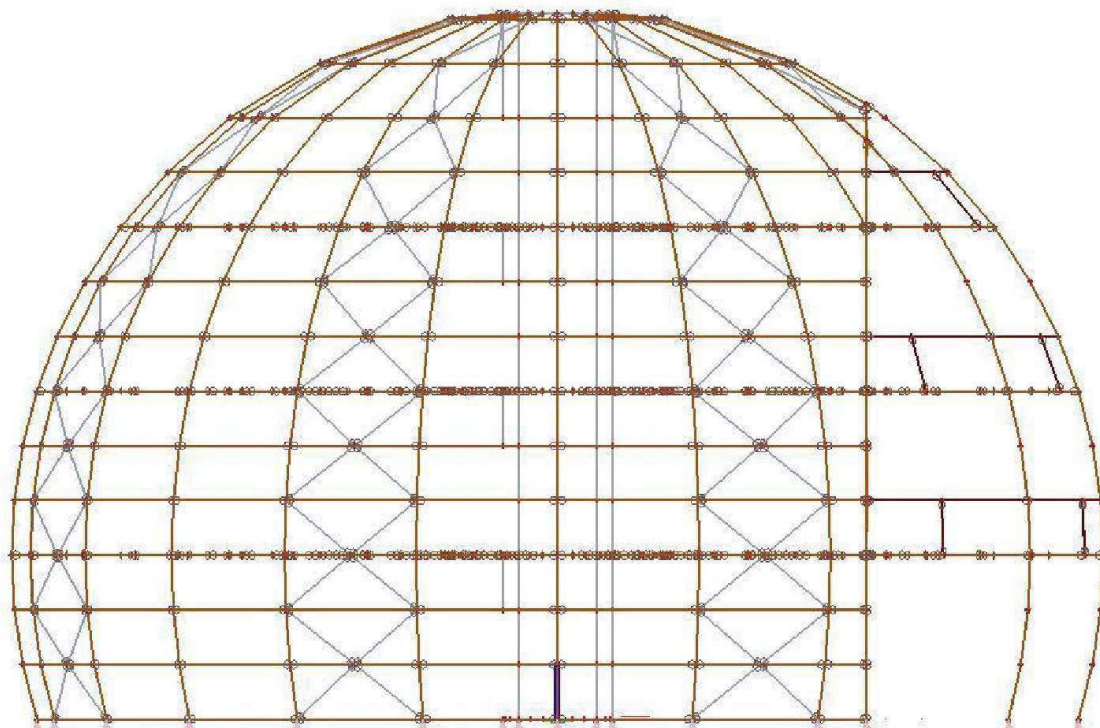
9. Konstrukce z oceli



10. Výpočetní model_1



11. Výpočetní model_2



12. Materiály

Ocel EC3

Jméno	Jednotková hmotnost [kg/m³]	E [MPa] G [MPa]	Poisson - nu Tep.roztaž. [m/mK]	Dolní mez [mm]	Horní mez [mm]	Fy (rozsah) [MPa]	Fu (rozsah) [MPa]
S 355	7850,0	2,1000e+05 8,0769e+04	0.3 0,00	0 40	40 80	355,0 335,0	490,0 470,0

Timber EC5

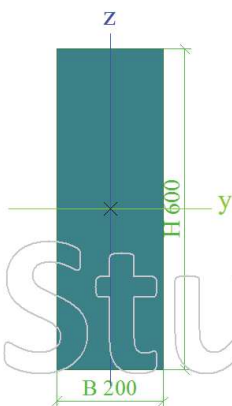
Jméno Typ Typ dřeva	Jednotková hmotnost [kg/m³]	E [MPa] Poisson - nu G [MPa]	Tep.roztaž. [m/mK]	Ohyb (fm,k) [MPa] Tah (ft,0,k) [MPa] Tah (ft,90,k) [MPa]	Tlak (fc,0,k) [MPa] Tlak (fc,90,k) [MPa] Smyk (fv,k) [MPa]
C24	350,0	1,1000e+04	0,00	24,0	21,0
Dřevo		0		14,0	2,5
Rostlé dřevo		6,9000e+02		0,4	4,0
GL28h	410,0	1,2600e+04	0,00	28,0	26,5
Dřevo		0		19,5	3,0
Lepené, laminované		7,8000e+02		0,5	3,2

13. Průřezy z lepeného lamelového dřeva

Žebra svislá		
Typ	OBDEL	
Detailní	200; 600	
Typ tvaru	Tlustostěnný	

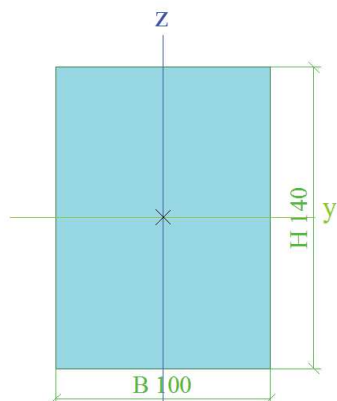
Materiál	GL28h	
Výroba	dřevo	
A [m ²]	1,2000e-01	
Ay [m ²], Az [m ²]	1,0000e-01	1,0000e-01
AL [m ² /m], AD [m ² /m]	1,6000e+00	1,6000e+00
cYUSS [mm], cZUSS [mm]	100	300
α [deg]	0,00	
Iy [m ⁴], Iz [m ⁴]	3,6000e-03	4,0000e-04
iy [mm], iz [mm]	173	58
Wely [m ³], Welz [m ³]	1,2000e-02	4,0000e-03
Wply [m ³], Wplz [m ³]	1,5261e-02	5,0870e-03
Mply+ [Nm], Mply- [Nm]	4,04e+05	4,04e+05
Mplz+ [Nm], Mplz- [Nm]	1,35e+05	1,35e+05
dy [mm], dz [mm]	0	0
It [m ⁴], Iw [m ⁶]	1,2615e-03	7,5431e-06
β y [mm], β z [mm]	0	0

Obrázek



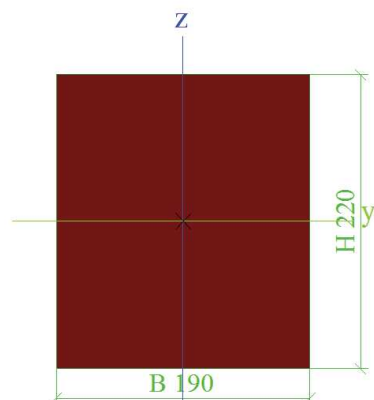
Žebra vodorovná		
Typ	OBDEL	
Detailní	100; 140	
Typ tvaru	Tlustostěnný	
Materiál	GL28h	
Výroba	dřevo	
A [m ²]	1,4000e-02	
Ay [m ²], Az [m ²]	1,1667e-02	1,1667e-02
AL [m ² /m], AD [m ² /m]	4,8000e-01	4,8000e-01
cYUSS [mm], cZUSS [mm]	50	70
α [deg]	0,00	
Iy [m ⁴], Iz [m ⁴]	2,2867e-05	1,1667e-05
iy [mm], iz [mm]	40	29
Wely [m ³], Welz [m ³]	3,2667e-04	2,3333e-04
Wply [m ³], Wplz [m ³]	4,1543e-04	2,9674e-04
Mply+ [Nm], Mply- [Nm]	1,10e+04	1,10e+04
Mplz+ [Nm], Mplz- [Nm]	7,86e+03	7,86e+03
dy [mm], dz [mm]	0	0
It [m ⁴], Iw [m ⁶]	2,6127e-05	2,2616e-09
β y [mm], β z [mm]	0	0

Obrázek



1.NP strop_vodorovné		
Typ	OBDEL	
Detailní	190; 220	
Typ tvaru	Tlustostěnný	
Materiál	GL28h	
Výroba	dřevo	
A [m ²]	4,1800e-02	
Ay [m ²], Az [m ²]	3,4833e-02	3,4833e-02
AL [m ² /m], AD [m ² /m]	8,2000e-01	8,2000e-01
cYUSS [mm], cZUSS [mm]	95	110
α [deg]	0,00	
Iy [m ⁴], Iz [m ⁴]	1,6859e-04	1,2575e-04
iy [mm], iz [mm]	64	55
Wely [m ³], Welz [m ³]	1,5327e-03	1,3237e-03
Wply [m ³], Wplz [m ³]	1,9492e-03	1,6834e-03
Mply+ [Nm], Mply- [Nm]	5,17e+04	5,17e+04
Mplz+ [Nm], Mplz- [Nm]	4,46e+04	4,46e+04
dy [mm], dz [mm]	0	0
It [m ⁴], Iw [m ⁶]	2,4274e-04	1,9270e-08
β y [mm], β z [mm]	0	0

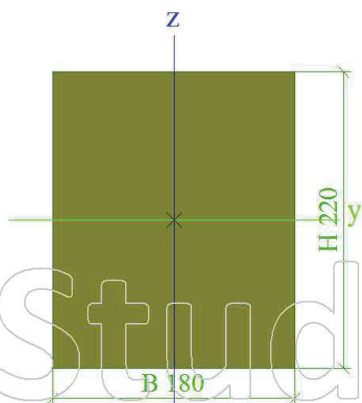
Obrázek



2.NP strop_vodorovné		
Typ	OBDEL	
Detailní	180; 220	
Typ tvaru	Tlustostěnný	
Materiál	GL28h	

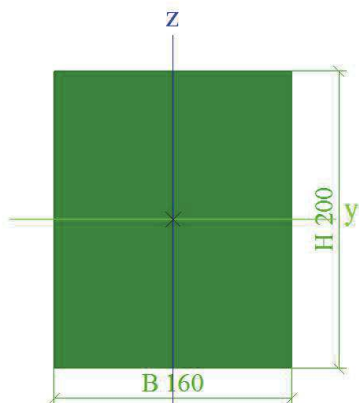
Výroba	dřevo	
A [m²]	3,9600e-02	
Ay [m²], Az [m²]	3,3000e-02	3,3000e-02
AL [m²/m], AD [m²/m]	8,0000e-01	8,0000e-01
cYUSS [mm], cZUSS [mm]	90	110
α [deg]	0,00	
Iy [m⁴], Iz [m⁴]	1,5972e-04	1,0692e-04
iy [mm], iz [mm]	64	52
Wely [m³], Welz [m³]	1,4520e-03	1,1880e-03
Wply [m³], Wplz [m³]	1,8466e-03	1,5108e-03
Mply+ [Nm], Mply- [Nm]	4,89e+04	4,89e+04
Mplz+ [Nm], Mplz- [Nm]	4,00e+04	4,00e+04
dy [mm], dz [mm]	0	0
It [m⁴], Iw [m⁴]	2,1595e-04	2,3756e-08
β_y [mm], β_z [mm]	0	0

Obrázek



3.NP strop_vodorovné		
Typ	OBDEL	
Detailní	160; 200	
Typ tvaru	Tlustostěnný	
Materiál	GL28h	
Výroba	dřevo	
A [m²]	3,2000e-02	
Ay [m²], Az [m²]	2,6667e-02	2,6667e-02
AL [m²/m], AD [m²/m]	7,2000e-01	7,2000e-01
cYUSS [mm], cZUSS [mm]	80	100
α [deg]	0,00	
Iy [m⁴], Iz [m⁴]	1,0667e-04	6,8267e-05
iy [mm], iz [mm]	58	46
Wely [m³], Welz [m³]	1,0667e-03	8,5333e-04
Wply [m³], Wplz [m³]	1,3565e-03	1,0852e-03
Mply+ [Nm], Mply- [Nm]	3,59e+04	3,59e+04
Mplz+ [Nm], Mplz- [Nm]	2,88e+04	2,88e+04
dy [mm], dz [mm]	0	0
It [m⁴], Iw [m⁴]	1,4052e-04	1,4678e-08
β_y [mm], β_z [mm]	0	0

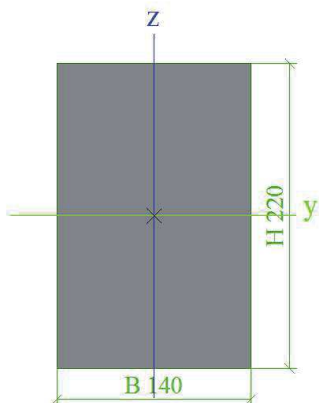
Obrázek



seřiznutí oblouk

Typ	OBDEL	
Detailní	140; 220	
Typ tvaru	Tlustostěnný	
Materiál	GL28h	
Výroba	dřevo	
A [m ²]	3,0800e-02	
Ay [m ²], Az [m ²]	2,5667e-02	2,5667e-02
AL [m ² /m], AD [m ² /m]	7,2000e-01	7,2000e-01
cYUSS [mm], cZUSS [mm]	70	110
α [deg]	0,00	
Iy [m ⁴], Iz [m ⁴]	1,2423e-04	5,0307e-05
iy [mm], iz [mm]	64	40
Wely [m ³], Welz [m ³]	1,1293e-03	7,1867e-04
Wply [m ³], Wplz [m ³]	1,4362e-03	9,1396e-04
Mply+ [Nm], Mply- [Nm]	3,81e+04	3,81e+04
Mplz+ [Nm], Mplz- [Nm]	2,42e+04	2,42e+04
dy [mm], dz [mm]	0	0
It [m ⁴], Iw [m ⁶]	1,2151e-04	3,8519e-08
β y [mm], β z [mm]	0	0

Obrázek

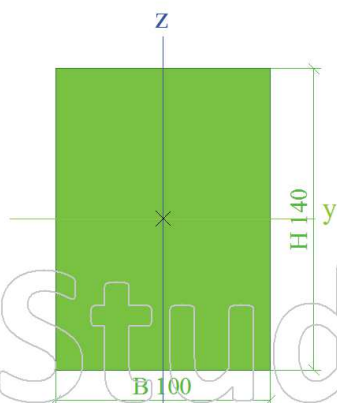


seřiznutí vodorovné pruty

Typ	OBDEL	
Detailní	100; 140	
Typ tvaru	Tlustostěnný	
Materiál	GL28h	

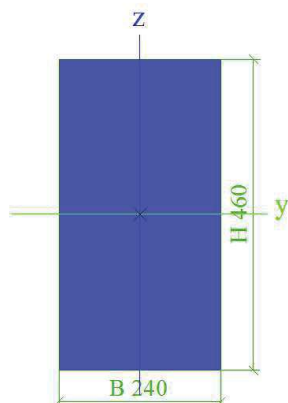
Výroba	dřevo	
A [m ²]	1,4000e-02	
Ay [m ²], Az [m ²]	1,1667e-02	1,1667e-02
AL [m ² /m], AD [m ² /m]	4,8000e-01	4,8000e-01
cYUSS [mm], cZUSS [mm]	50	70
α [deg]	0,00	
Iy [m ⁴], Iz [m ⁴]	2,2867e-05	1,1667e-05
iy [mm], iz [mm]	40	29
Wely [m ³], Welz [m ³]	3,2667e-04	2,3333e-04
Wply [m ³], Wplz [m ³]	4,1543e-04	2,9674e-04
Mply+ [Nm], Mply- [Nm]	1,10e+04	1,10e+04
Mplz+ [Nm], Mplz- [Nm]	7,86e+03	7,86e+03
dy [mm], dz [mm]	0	0
It [m ⁴], Iw [m ⁴]	2,6127e-05	2,2616e-09
β y [mm], β z [mm]	0	0

Obrázek



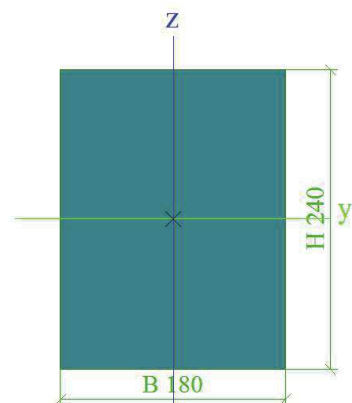
seřiznutí_vodorovné masivnější		
Typ	OBDEL	
Detailní	240; 460	
Typ tvaru	Tlustostěnný	
Materiál	GL28h	
Výroba	dřevo	
A [m ²]	1,1040e-01	
Ay [m ²], Az [m ²]	9,2000e-02	9,2000e-02
AL [m ² /m], AD [m ² /m]	1,4000e+00	1,4000e+00
cYUSS [mm], cZUSS [mm]	120	230
α [deg]	0,00	
Iy [m ⁴], Iz [m ⁴]	1,9467e-03	5,2992e-04
iy [mm], iz [mm]	133	69
Wely [m ³], Welz [m ³]	8,4640e-03	4,4160e-03
Wply [m ³], Wplz [m ³]	1,0764e-02	5,6160e-03
Mply+ [Nm], Mply- [Nm]	2,85e+05	2,85e+05
Mplz+ [Nm], Mplz- [Nm]	1,49e+05	1,49e+05
dy [mm], dz [mm]	0	0
It [m ⁴], Iw [m ⁴]	1,4238e-03	3,0890e-06
β y [mm], β z [mm]	0	0

Obrázek



sloupy		
Typ	OBDEL	
Detailní	180; 240	
Typ tvaru	Tlustostěnný	
Materiál	GL28h	
Výroba	dřevo	
A [m ²]	4,3200e-02	
Ay [m ²], Az [m ²]	3,6000e-02	3,6000e-02
AL [m ² /m], AD [m ² /m]	8,4000e-01	8,4000e-01
cYUSS [mm], cZUSS [mm]	90	120
α [deg]	0,00	
Iy [m ⁴], Iz [m ⁴]	2,0736e-04	1,1664e-04
iy [mm], iz [mm]	69	52
Wely [m ³], Welz [m ³]	1,7280e-03	1,2960e-03
Wply [m ³], Wplz [m ³]	2,1976e-03	1,6482e-03
Mply+ [Nm], Mply- [Nm]	5,82e+04	5,82e+04
Mplz+ [Nm], Mplz- [Nm]	4,37e+04	4,37e+04
dy [mm], dz [mm]	0	0
It [m ⁴], Iw [m ⁶]	2,5209e-04	5,1777e-08
β y [mm], β z [mm]	0	0

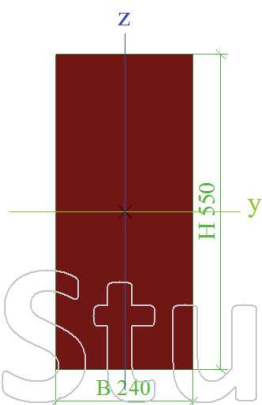
Obrázek



Žebra vodorovná_masivnější		
Typ	OBDEL	
Detailní	240; 550	
Typ tvaru	Tlustostěnný	
Materiál	GL28h	

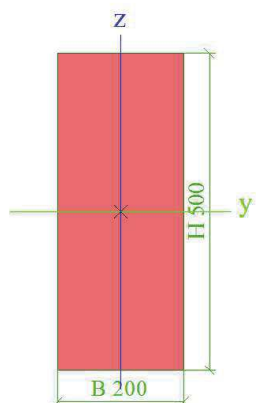
Výroba	dřevo	
A [m ²]	1,3200e-01	
Ay [m ²], Az [m ²]	1,1000e-01	1,1000e-01
AL [m ² /m], AD [m ² /m]	1,5800e+00	1,5800e+00
cYUSS [mm], cZUSS [mm]	120	275
α [deg]	0,00	
Iy [m ⁴], Iz [m ⁴]	3,3275e-03	6,3360e-04
iy [mm], iz [mm]	159	69
Wely [m ³], Welz [m ³]	1,2100e-02	5,2800e-03
Wply [m ³], Wplz [m ³]	1,5388e-02	6,7148e-03
Mply+ [Nm], Mply- [Nm]	4,08e+05	4,08e+05
Mplz+ [Nm], Mplz- [Nm]	1,78e+05	1,78e+05
dy [mm], dz [mm]	0	0
It [m ⁴], Iw [m ⁴]	1,8345e-03	7,3133e-06
β y [mm], β z [mm]	0	0

Obrázek



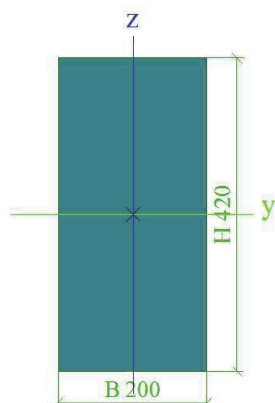
Žebra svislá_2		
Typ	OBDEL	
Detailní	200; 500	
Typ tvaru	Tlustostěnný	
Materiál	GL28h	
Výroba	dřevo	
A [m ²]	1,0000e-01	
Ay [m ²], Az [m ²]	8,3333e-02	8,3333e-02
AL [m ² /m], AD [m ² /m]	1,4000e+00	1,4000e+00
cYUSS [mm], cZUSS [mm]	100	250
α [deg]	0,00	
Iy [m ⁴], Iz [m ⁴]	2,0833e-03	3,3333e-04
iy [mm], iz [mm]	144	58
Wely [m ³], Welz [m ³]	8,3333e-03	3,3333e-03
Wply [m ³], Wplz [m ³]	1,0598e-02	4,2391e-03
Mply+ [Nm], Mply- [Nm]	2,81e+05	2,81e+05
Mplz+ [Nm], Mplz- [Nm]	1,12e+05	1,12e+05
dy [mm], dz [mm]	0	0
It [m ⁴], Iw [m ⁴]	9,9545e-04	3,5936e-06
β y [mm], β z [mm]	0	0

Obrázek



Žebra svislá_3		
Typ	OBDEL	
Detailní	200; 420	
Typ tvaru	Tlustostěnný	
Materiál	GL28h	
Výroba	dřevo	
A [m ²]	8,4000e-02	
Ay [m ²], Az [m ²]	7,0000e-02	7,0000e-02
AL [m ² /m], AD [m ² /m]	1,2400e+00	1,2400e+00
cYUSS [mm], cZUSS [mm]	100	210
α [deg]	0,00	
Iy [m ⁴], Iz [m ⁴]	1,2348e-03	2,8000e-04
iy [mm], iz [mm]	121	58
Wely [m ³], Welz [m ³]	5,8800e-03	2,8000e-03
Wply [m ³], Wplz [m ³]	7,4778e-03	3,5609e-03
Mply+ [Nm], Mply- [Nm]	1,98e+05	1,98e+05
Mplz+ [Nm], Mplz- [Nm]	9,44e+04	9,44e+04
dy [mm], dz [mm]	0	0
It [m ⁴], Iw [m ⁶]	7,8309e-04	1,6294e-06
β y [mm], β z [mm]	0	0

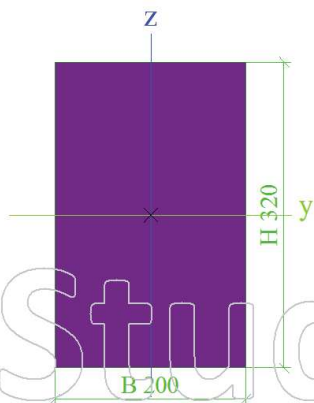
Obrázek



Žebra svislá_4		
Typ	OBDEL	
Detailní	200; 320	
Typ tvaru	Tlustostěnný	
Materiál	GL28h	

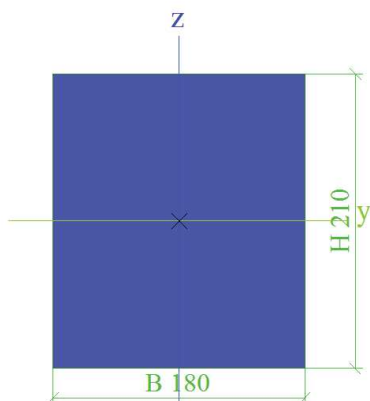
Výroba	dřevo	
A [m²]	6,4000e-02	
Ay [m²], Az [m²]	5,3333e-02	5,3333e-02
AL [m²/m], AD [m²/m]	1,0400e+00	1,0400e+00
cYUSS [mm], cZUSS [mm]	100	160
α [deg]	0,00	
Iy [m⁴], Iz [m⁴]	5,4613e-04	2,1333e-04
iy [mm], iz [mm]	92	58
Wely [m³], Welz [m³]	3,4133e-03	2,1333e-03
Wply [m³], Wplz [m³]	4,3409e-03	2,7130e-03
Mply+ [Nm], Mply- [Nm]	1,15e+05	1,15e+05
Mplz+ [Nm], Mplz- [Nm]	7,19e+04	7,19e+04
dy [mm], dz [mm]	0	0
It [m⁴], Iw [m⁴]	5,2081e-04	3,6711e-07
β_y [mm], β_z [mm]	0	0

Obrázek



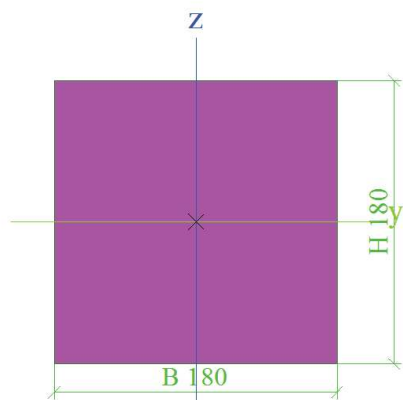
sloupy_2		
Typ	OBDEL	
Detailní	180; 210	
Typ tvaru	tlustostěnný	
Materiál	GL28h	
Výroba	dřevo	
A [m²]	3,7800e-02	
Ay [m²], Az [m²]	3,1500e-02	3,1500e-02
AL [m²/m], AD [m²/m]	7,8000e-01	7,8000e-01
cYUSS [mm], cZUSS [mm]	90	105
α [deg]	0,00	
Iy [m⁴], Iz [m⁴]	1,3891e-04	1,0206e-04
iy [mm], iz [mm]	61	52
Wely [m³], Welz [m³]	1,3230e-03	1,1340e-03
Wply [m³], Wplz [m³]	1,6825e-03	1,4422e-03
Mply+ [Nm], Mply- [Nm]	4,46e+04	4,46e+04
Mplz+ [Nm], Mplz- [Nm]	3,82e+04	3,82e+04
dy [mm], dz [mm]	0	0
It [m⁴], Iw [m⁴]	1,9847e-04	1,5357e-08
β_y [mm], β_z [mm]	0	0

Obrázek



sloupy_3		
Typ	OBDEL	
Detailní	180; 180	
Typ tvaru	Tlustostěnný	
Materiál	GL28h	
Výroba	dřevo	
A [m ²]	3,2400e-02	
Ay [m ²], Az [m ²]	2,7000e-02	2,7000e-02
AL [m ² /m], AD [m ² /m]	7,2000e-01	7,2000e-01
cYUSS [mm], cZUSS [mm]	90	90
α [deg]	0,00	
Iy [m ⁴], Iz [m ⁴]	8,7480e-05	8,7480e-05
iy [mm], iz [mm]	52	52
Wely [m ³], Welz [m ³]	9,7200e-04	9,7200e-04
Wply [m ³], Wplz [m ³]	1,2361e-03	1,2361e-03
Mply+ [Nm], Mply- [Nm]	3,28e+04	3,28e+04
Mplz+ [Nm], Mplz- [Nm]	3,28e+04	3,28e+04
dy [mm], dz [mm]	0	0
It [m ⁴], Iw [m ⁶]	1,4741e-04	4,3478e-09
β y [mm], β z [mm]	0	0

Obrázek



Vysvětlivky symbolů	
A	Plocha
Ay	Smyková plocha ve směru hlavní osy y - Vypočteno 2D MKP analýzou

Vysvětlivky symbolů	
Az	Smyková plocha ve směru hlavní osy z - Vypočteno 2D MKP analýzou
AL	Obvodový povrch na jednotku délky

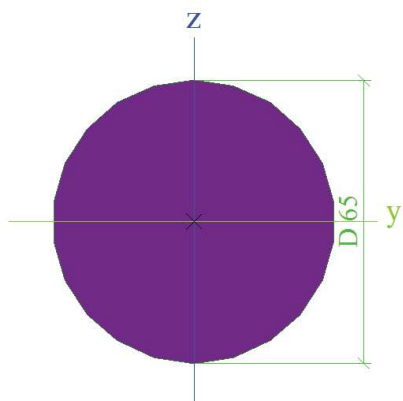
Vysvětlivky symbolů	
AD	Vysýchající povrch na jednotku délky
cYUSS	Souřadnice těžiště ve směry osy Y zadávacího systému
cZUSS	Souřadnice těžiště ve směry osy Z zadávacího systému
IYLSS	Moment setrvačnosti kolem osy YLSS
IZLSS	Moment setrvačnosti kolem osy ZLSS
IYZLSS	Moment setrvačnosti lyz v LSS
α	Úhel pootočení hlavní osy
I _y	Moment setrvačnosti kolem hlavní osy y
I _z	Moment setrvačnosti kolem hlavní osy z
i _y	Poloměr setrvačnosti kolem hlavní osy y
i _z	Poloměr setrvačnosti kolem hlavní osy z
W _{ely}	Pružný modul průřezu k hlavní ose y
W _{elz}	Pružný modul průřezu k hlavní ose z

Vysvětlivky symbolů	
W _{ply}	Plastický modul průřezu k hlavní ose y
W _{plz}	Plastický modul průřezu k hlavní ose z
M _{ply+}	Plastický moment kolem hlavní osy y pro kladný moment M _y
M _{ply-}	Plastický moment kolem hlavní osy y pro záporný moment M _y
M _{plz+}	Plastický moment kolem hlavní osy z pro kladný moment M _z
M _{plz-}	Plastický moment kolem hlavní osy z pro záporný moment M _z
d _y	Souřadnice středu smyku ve směru hlavní osy y měřená od těžiště - Vypočteno 2D MKP analýzou
d _z	Souřadnice středu smyku ve směru hlavní osy z měřená od těžiště - Vypočteno 2D MKP analýzou
I _t	Moment setrvačnosti v prostém kroucení - Vypočteno 2D MKP analýzou
I _w	Výsečový moment setrvačnosti - Vypočteno 2D MKP analýzou
β_y	Mono-symetrická konstanta kolem hlavní osy y
β_z	Mono-symetrická konstanta kolem hlavní osy z

14. Průřezy z rostlého dřeva

zábradelní sloupky		
Typ	KRUH	
Detailní	65	
Typ tvaru	tlustostěnný	
Materiál	C24	
Výroba	dřevo	
A [m ²]	3,3183e-03	
A _y [m ²], A _z [m ²]	2,9777e-03	2,9777e-03
AL [m ² /m], AD [m ² /m]	2,0419e-01	2,0419e-01
cYUSS [mm], cZUSS [mm]	32	33
α [deg]	0,00	
I _y [m ⁴], I _z [m ⁴]	8,7624e-07	8,7624e-07
i _y [mm], i _z [mm]	16	16
W _{ely} [m ³], W _{elz} [m ³]	2,6961e-05	2,6961e-05
W _{ply} [m ³], W _{plz} [m ³]	4,5771e-05	4,5771e-05
M _{ply+} [Nm], M _{ply-} [Nm]	7,71e+02	7,71e+02
M _{plz+} [Nm], M _{plz-} [Nm]	7,71e+02	7,71e+02
d _y [mm], d _z [mm]	0	0
I _t [m ⁴], I _w [m ⁶]	1,7566e-06	3,8660e-20
β_y [mm], β_z [mm]	0	0

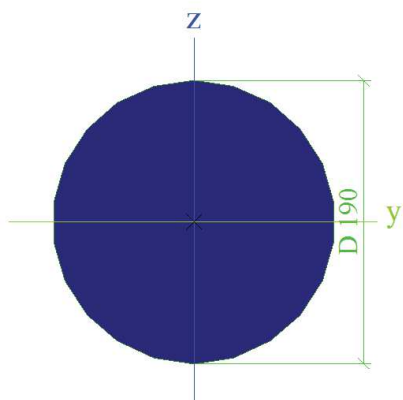
Obrázek



zábradlí

Typ	KRUH	
Detailní	190	
Typ tvaru	Tlustostěnný	
Materiál	C24	
Výroba	dřevo	
A [m ²]	2,8353e-02	
Ay [m ²], Az [m ²]	2,5484e-02	2,5484e-02
AL [m ² /m], AD [m ² /m]	5,9687e-01	5,9687e-01
cYUSS [mm], cZUSS [mm]	95	95
α [deg]	0,00	
Iy [m ⁴], Iz [m ⁴]	6,3971e-05	6,3971e-05
iy [mm], iz [mm]	47	47
Wely [m ³], Welz [m ³]	6,7338e-04	6,7338e-04
Wply [m ³], Wplz [m ³]	1,1432e-03	1,1432e-03
Mply+ [Nm], Mply- [Nm]	1,93e+04	1,93e+04
Mplz+ [Nm], Mplz- [Nm]	1,93e+04	1,93e+04
dy [mm], dz [mm]	0	0
It [m ⁴], Iw [m ⁶]	1,2819e-04	2,8699e-17
β y [mm], β z [mm]	0	0

Obrázek



Vysvětlivky symbolů

A	Plocha
Ay	Smyková plocha ve směru hlavní osy y - Vypočteno 2D MKP analýzou

Vysvětlivky symbolů

Az	Smyková plocha ve směru hlavní osy z - Vypočteno 2D MKP analýzou
AL	Obvodový povrch na jednotku délky

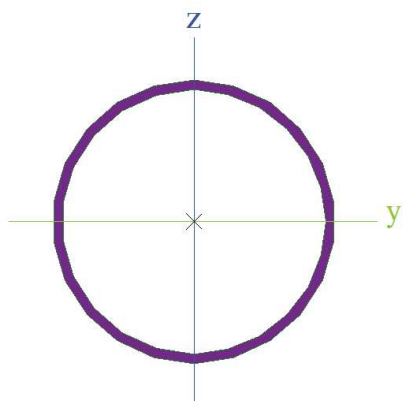
Vysvětlivky symbolů	
AD	Vysýchající povrch na jednotku délky
cYUSS	Souřadnice těžiště ve směry osy Y zadávacího systému
cZUSS	Souřadnice těžiště ve směry osy Z zadávacího systému
IYLSS	Moment setrvačnosti kolem osy YLSS
IZLSS	Moment setrvačnosti kolem osy ZLSS
IYZLSS	Moment setrvačnosti Iyz v LSS
α	Úhel pootočení hlavní osy
Iy	Moment setrvačnosti kolem hlavní osy y
Iz	Moment setrvačnosti kolem hlavní osy z
iy	Poloměr setrvačnosti kolem hlavní osy y
iz	Poloměr setrvačnosti kolem hlavní osy z
Wely	Pružný modul průřezu k hlavní ose y
Welz	Pružný modul průřezu k hlavní ose z

Vysvětlivky symbolů	
Wply	Plastický modul průřezu k hlavní ose y
Wplz	Plastický modul průřezu k hlavní ose z
Mply+	Plastický moment kolem hlavní osy y pro kladný moment My
Mply-	Plastický moment kolem hlavní osy y pro záporný moment My
Mplz+	Plastický moment kolem hlavní osy z pro kladný moment Mz
Mplz-	Plastický moment kolem hlavní osy z pro záporný moment Mz
dy	Souřadnice středu smyku ve směru hlavní osy y měřená od těžiště - Vypočteno 2D MKP analýzou
dz	Souřadnice středu smyku ve směru hlavní osy z měřená od těžiště - Vypočteno 2D MKP analýzou
It	Moment setrvačnosti v prostém kroucení - Vypočteno 2D MKP analýzou
Iw	Výsečový moment setrvačnosti - Vypočteno 2D MKP analýzou
βy	Mono-symetrická konstanta kolem hlavní osy y
βz	Mono-symetrická konstanta kolem hlavní osy z

15. Průřezy z oceli

ztužidla		
Typ	CFCHS88.9X3	
Kód tvaru	3 - Kruhové duté průřezy	
Typ tvaru	Tenkostěnný	
Materiál	S 355	
Výroba	tvářený za studena	
Posudek rovinného vzpěru y-y, Posudek rovinného vzpěru z-z	c	c
A [m ²]	8,1000e-04	
Ay [m ²], Az [m ²]	5,4164e-04	5,4164e-04
AL [m ² /m], AD [m ² /m]	2,7900e-01	5,3970e-01
cYUSS [mm], cZUSS [mm]	44	44
α [deg]	0,00	
Iy [m ⁴], Iz [m ⁴]	7,4760e-07	7,4760e-07
iy [mm], iz [mm]	30	30
Wely [m ³], Welz [m ³]	1,6820e-05	1,6820e-05
Wply [m ³], Wplz [m ³]	2,2150e-05	2,2150e-05
Mply+ [Nm], Mply- [Nm]	7,86e+03	7,86e+03
Mplz+ [Nm], Mplz- [Nm]	7,86e+03	7,86e+03
dy [mm], dz [mm]	0	0
It [m ⁴], Iw [m ⁶]	1,4953e-06	5,2128e-42
βy [mm], βz [mm]	0	0

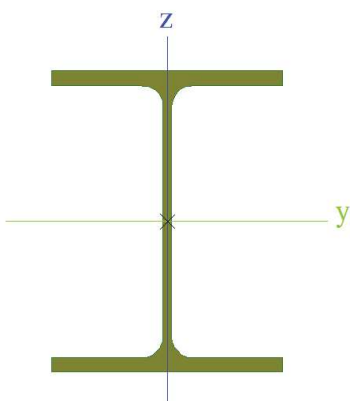
Obrázek



1.NP_svislé

Typ	HEA400	
Kód tvaru	1 - Průřezy I	
Typ tvaru	Tenkostěnný	
Materiál	S 355	
Výroba	válcovaný	
Posudek rovinného vzpěru y-y, Posudek rovinného vzpěru z-z	a	b
A [m ²]	1,5900e-02	
Ay [m ²], Az [m ²]	1,1006e-02	4,4726e-03
AL [m ² /m], AD [m ² /m]	1,9100e+00	1,9114e+00
cYUS [mm], cZUS [mm]	150	195
α [deg]	0,00	
Iy [m ⁴], Iz [m ⁴]	4,5100e-04	8,5600e-05
iy [mm], iz [mm]	168	73
Wely [m ³], Welz [m ³]	2,3100e-03	5,7100e-04
Wply [m ³], Wplz [m ³]	2,5625e-03	8,7083e-04
Mply+ [Nm], Mply- [Nm]	9,10e+05	9,10e+05
Mplz+ [Nm], Mplz- [Nm]	3,10e+05	3,10e+05
dy [mm], dz [mm]	0	0
It [m ⁴], Iw [m ⁶]	1,8900e-06	2,9421e-06
β y [mm], β z [mm]	0	0

Obrázek

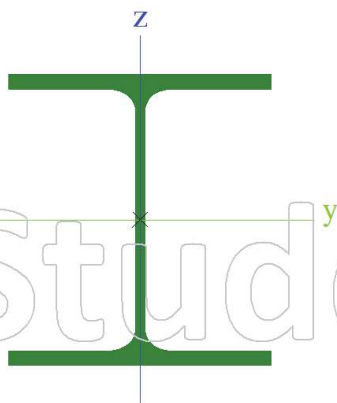


2.NP_svislé

Typ	HEA340	
Kód tvaru	1 - Průřezy I	
Typ tvaru	Tenkostěnný	

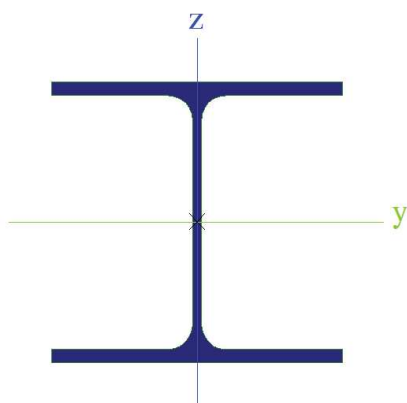
Materiál	S 355	
Výroba	válcovaný	
Posudek rovinného vzpěru y-y, Posudek rovinného vzpěru z-z	b	c
A [m ²]	1,3400e-02	
Ay [m ²], Az [m ²]	9,5495e-03	3,3201e-03
AL [m ² /m], AD [m ² /m]	1,8000e+00	1,7944e+00
cYUSS [mm], cZUSS [mm]	150	165
α [deg]	0,00	
Iy [m ⁴], Iz [m ⁴]	2,7700e-04	7,4400e-05
iy [mm], iz [mm]	144	75
Wely [m ³], Welz [m ³]	1,6800e-03	4,9600e-04
Wply [m ³], Wplz [m ³]	1,8500e-03	7,5417e-04
Mply+ [Nm], Mply- [Nm]	6,57e+05	6,57e+05
Mplz+ [Nm], Mplz- [Nm]	2,68e+05	2,68e+05
dy [mm], dz [mm]	0	0
It [m ⁴], Iw [m ⁶]	1,2700e-06	1,8244e-06
β y [mm], β z [mm]	0	0

Obrázek



3.NP_svislé		
Typ	HEA280	
Kód tvaru	1 - Průřezy I	
Typ tvaru	Tenkostěnný	
Materiál	S 355	
Výroba	válcovaný	
Posudek rovinného vzpěru y-y, Posudek rovinného vzpěru z-z	b	c
A [m ²]	9,7300e-03	
Ay [m ²], Az [m ²]	7,0049e-03	2,3104e-03
AL [m ² /m], AD [m ² /m]	1,6000e+00	1,6026e+00
cYUSS [mm], cZUSS [mm]	140	135
α [deg]	0,00	
Iy [m ⁴], Iz [m ⁴]	1,3700e-04	4,7600e-05
iy [mm], iz [mm]	119	70
Wely [m ³], Welz [m ³]	1,0100e-03	3,4000e-04
Wply [m ³], Wplz [m ³]	1,1125e-03	5,1667e-04
Mply+ [Nm], Mply- [Nm]	3,95e+05	3,95e+05
Mplz+ [Nm], Mplz- [Nm]	1,84e+05	1,84e+05
dy [mm], dz [mm]	0	0
It [m ⁴], Iw [m ⁶]	6,2100e-07	7,8537e-07
β y [mm], β z [mm]	0	0

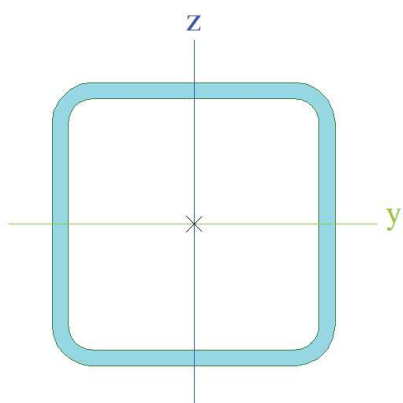
Obrázek



Výtah_svislé

Typ	CFRHS140X140X8	
Kód tvaru	2 - Obdélníkové uzavřené průřezy	
Typ tvaru	Tenkostěnný	
Materiál	S 355	
Výroba	tvářený za studena	
Posudek rovinného vzpěru y-y, Posudek rovinného vzpěru z-z	c	c
A [m ²]	4,0040e-03	
Ay [m ²], Az [m ²]	2,0001e-03	2,0001e-03
AL [m ² /m], AD [m ² /m]	5,2600e-01	1,0008e+00
cYUS [mm], cZUS [mm]	70	70
α [deg]	0,00	
Iy [m ⁴], Iz [m ⁴]	1,1268e-05	1,1268e-05
iy [mm], iz [mm]	53	53
Wely [m ³], Welz [m ³]	1,6097e-04	1,6097e-04
Wply [m ³], Wplz [m ³]	1,9418e-04	1,9418e-04
Mply+ [Nm], Mply- [Nm]	6,88e+04	6,88e+04
Mplz+ [Nm], Mplz- [Nm]	6,88e+04	6,88e+04
dy [mm], dz [mm]	0	0
It [m ⁴], Iw [m ⁶]	1,9008e-05	3,5855e-08
β y [mm], β z [mm]	0	0

Obrázek

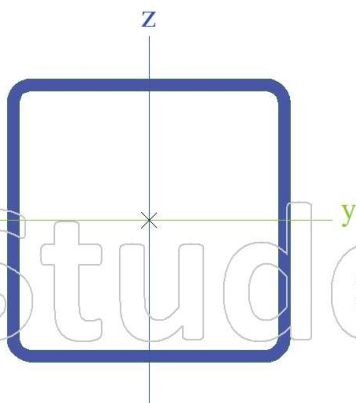


Výtah_svislé_2

Typ	CFRHS140X140X6	
Kód tvaru	2 - Obdélníkové uzavřené průřezy	
Typ tvaru	Tenkostěnný	

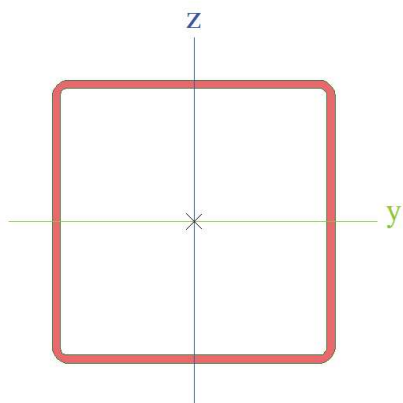
Materiál	S 355	
Výroba	tvářený za studena	
Posudek rovinného vzpěru y-y, Posudek rovinného vzpěru z-z	c	c
A [m ²]	3,1230e-03	
Ay [m ²], Az [m ²]	1,5608e-03	1,5608e-03
AL [m ² /m], AD [m ² /m]	5,3900e-01	1,0410e+00
cYUSS [mm], cZUSS [mm]	70	70
α [deg]	0,00	
Iy [m ⁴], Iz [m ⁴]	9,2043e-06	9,2043e-06
iy [mm], iz [mm]	54	54
Wely [m ³], Welz [m ³]	1,3149e-04	1,3149e-04
Wply [m ³], Wplz [m ³]	1,5533e-04	1,5533e-04
Mply+ [Nm], Mply- [Nm]	5,51e+04	5,51e+04
Mplz+ [Nm], Mplz- [Nm]	5,51e+04	5,51e+04
dy [mm], dz [mm]	0	0
It [m ⁴], Iw [m ⁶]	1,4788e-05	2,6891e-08
β y [mm], β z [mm]	0	0

Obrázek



Výtah_svislé_3		
Typ	CFRHS140X140X4	
Kód tvaru	2 - Obdélníkové uzavřené průřezy	
Typ tvaru	Tenkostěnný	
Materiál	S 355	
Výroba	tvářený za studena	
Posudek rovinného vzpěru y-y, Posudek rovinného vzpěru z-z	c	c
A [m ²]	2,1350e-03	
Ay [m ²], Az [m ²]	1,0670e-03	1,0670e-03
AL [m ² /m], AD [m ² /m]	5,4600e-01	1,0673e+00
cYUSS [mm], cZUSS [mm]	70	70
α [deg]	0,00	
Iy [m ⁴], Iz [m ⁴]	6,5162e-06	6,5162e-06
iy [mm], iz [mm]	55	55
Wely [m ³], Welz [m ³]	9,3090e-05	9,3090e-05
Wply [m ³], Wplz [m ³]	1,0815e-04	1,0815e-04
Mply+ [Nm], Mply- [Nm]	3,84e+04	3,84e+04
Mplz+ [Nm], Mplz- [Nm]	3,84e+04	3,84e+04
dy [mm], dz [mm]	0	0
It [m ⁴], Iw [m ⁶]	1,0233e-05	1,7927e-08
β y [mm], β z [mm]	0	0

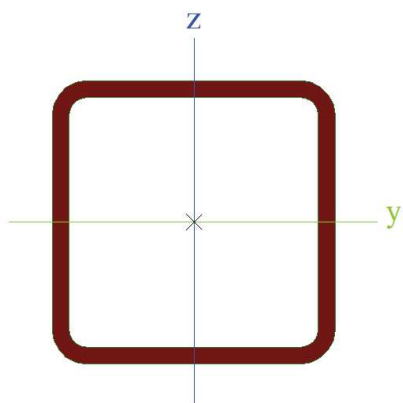
Obrázek



Výtah_vodorovné_1

Typ	CFRHS100X100X6	
Kód tvaru	2 - Obdélníkové uzavřené průřezy	
Typ tvaru	Tenkostěnný	
Materiál	S 355	
Výroba	tvářený za studena	
Posudek rovinného vzpěru y-y, Posudek rovinného vzpěru z-z	c	c
A [m ²]	2,1630e-03	
Ay [m ²], Az [m ²]	1,0808e-03	1,0808e-03
AL [m ² /m], AD [m ² /m]	3,7900e-01	7,2095e-01
cYUS [mm], cZUS [mm]	50	50
α [deg]	0,00	
Iy [m ⁴], Iz [m ⁴]	3,1147e-06	3,1147e-06
iy [mm], iz [mm]	38	38
Wely [m ³], Welz [m ³]	6,2290e-05	6,2290e-05
Wply [m ³], Wplz [m ³]	7,5100e-05	7,5100e-05
Mply+ [Nm], Mply- [Nm]	2,66e+04	2,66e+04
Mplz+ [Nm], Mplz- [Nm]	2,66e+04	2,66e+04
dy [mm], dz [mm]	0	0
It [m ⁴], Iw [m ⁶]	5,1416e-06	5,0000e-09
β y [mm], β z [mm]	0	0

Obrázek

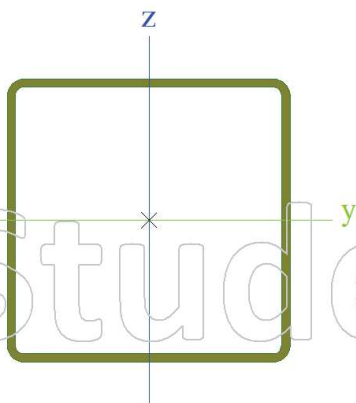


Výtah_vodorovné_2

Typ	CFRHS100X100X3	
Kód tvaru	2 - Obdélníkové uzavřené průřezy	
Typ tvaru	Tenkostěnný	

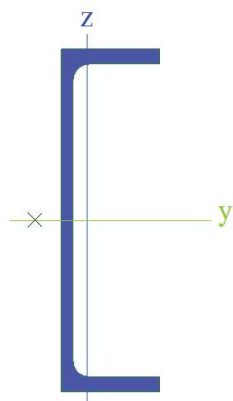
Materiál	S 355	
Výroba	tvářený za studena	
Posudek rovinného vzpěru y-y, Posudek rovinného vzpěru z-z	c	c
A [m ²]	1,1410e-03	
Ay [m ²], Az [m ²]	5,7020e-04	5,7020e-04
AL [m ² /m], AD [m ² /m]	3,9000e-01	7,6048e-01
cYUSS [mm], cZUSS [mm]	50	50
α [deg]	0,00	
Iy [m ⁴], Iz [m ⁴]	1,7705e-06	1,7705e-06
iy [mm], iz [mm]	39	39
Wely [m ³], Welz [m ³]	3,5410e-05	3,5410e-05
Wply [m ³], Wplz [m ³]	4,1210e-05	4,1210e-05
Mply+ [Nm], Mply- [Nm]	1,46e+04	1,46e+04
Mplz+ [Nm], Mplz- [Nm]	1,46e+04	1,46e+04
dy [mm], dz [mm]	0	0
It [m ⁴], Iw [m ⁶]	2,7868e-06	2,5000e-09
β y [mm], β z [mm]	0	0

Obrázek



Výtah_vodorovné_3		
Typ	UPE400	
Kód tvaru	5 - U průřezy	
Typ tvaru	Tenkostěnný	
Materiál	S 355	
Výroba	válcovaný	
Posudek rovinného vzpěru y-y, Posudek rovinného vzpěru z-z	c	c
A [m ²]	9,1900e-03	
Ay [m ²], Az [m ²]	4,0194e-03	5,2677e-03
AL [m ² /m], AD [m ² /m]	1,2175e+00	1,2175e+00
cYUSS [mm], cZUSS [mm]	30	200
α [deg]	0,00	
Iy [m ⁴], Iz [m ⁴]	2,0981e-04	1,0450e-05
iy [mm], iz [mm]	151	34
Wely [m ³], Welz [m ³]	1,0490e-03	1,2300e-04
Wply [m ³], Wplz [m ³]	1,2630e-03	2,2100e-04
Mply+ [Nm], Mply- [Nm]	4,48e+05	4,48e+05
Mplz+ [Nm], Mplz- [Nm]	7,84e+04	7,84e+04
dy [mm], dz [mm]	-61	0
It [m ⁴], Iw [m ⁶]	7,9100e-07	2,6631e-07
β y [mm], β z [mm]	0	437

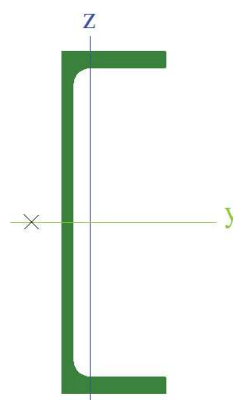
Obrázek



Výtah_vodorovné_4

Typ	UPE360	
Kód tvaru	5 - U průřezy	
Typ tvaru	Tenkostěnný	
Materiál	S 355	
Výroba	válcovaný	
Posudek rovinného vzpěru y-y, Posudek rovinného vzpěru z-z	c	c
A [m ²]	7,7900e-03	
Ay [m ²], Az [m ²]	3,6264e-03	4,2348e-03
AL [m ² /m], AD [m ² /m]	1,1205e+00	1,1205e+00
cYUS [mm], cZUS [mm]	30	180
α [deg]	0,00	
Iy [m ⁴], Iz [m ⁴]	1,4825e-04	8,4400e-06
iy [mm], iz [mm]	138	33
Wely [m ³], Welz [m ³]	8,2400e-04	1,0500e-04
Wply [m ³], Wplz [m ³]	9,8200e-04	1,8900e-04
Mply+ [Nm], Mply- [Nm]	3,49e+05	3,49e+05
Mplz+ [Nm], Mplz- [Nm]	6,72e+04	6,72e+04
dy [mm], dz [mm]	-61	0
It [m ⁴], Iw [m ⁶]	5,8500e-07	1,7235e-07
β y [mm], β z [mm]	0	385

Obrázek

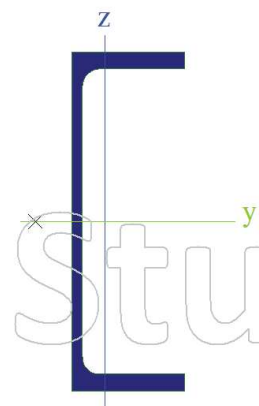


Výtah_vodorovné_5

Typ	UPE300	
Kód tvaru	5 - U průřezy	
Typ tvaru	Tenkostěnný	

Materiál	S 355	
Výroba	válcovaný	
Posudek rovinného vzpěru y-y, Posudek rovinného vzpěru z-z	c	c
A [m ²]	5,6600e-03	
Ay [m ²], Az [m ²]	2,8338e-03	2,8095e-03
AL [m ² /m], AD [m ² /m]	9,6812e-01	9,6806e-01
cYUSS [mm], cZUSS [mm]	29	150
α [deg]	0,00	
Iy [m ⁴], Iz [m ⁴]	7,8230e-05	5,3800e-06
iy [mm], iz [mm]	118	31
Wely [m ³], Welz [m ³]	5,2200e-04	7,5600e-05
Wply [m ³], Wplz [m ³]	6,1300e-04	1,3700e-04
Mply+ [Nm], Mply- [Nm]	2,18e+05	2,18e+05
Mplz+ [Nm], Mplz- [Nm]	4,85e+04	4,85e+04
dy [mm], dz [mm]	-61	0
It [m ⁴], Iw [m ⁶]	3,1500e-07	7,5459e-08
β_y [mm], β_z [mm]	0	314

Obrázek



Vysvětlivky symbolů	
Kód tvaru	d - Průměr w - Tloušťka
A	Plocha
Ay	Smyková plocha ve směru hlavní osy y
Az	Smyková plocha ve směru hlavní osy z
AL	Obvodový povrch na jednotku délky
AD	Vysýchající povrch na jednotku délky
cYUSS	Souřadnice těžiště ve směru osy Y zadávacího systému
cZUSS	Souřadnice těžiště ve směru osy Z zadávacího systému
IYLSS	Moment setrvačnosti kolem osy YLSS
IZLSS	Moment setrvačnosti kolem osy ZLSS
IYZLSS	Moment setrvačnosti Iyz v LSS
α	Úhel pootočení hlavní osy
Iy	Moment setrvačnosti kolem hlavní osy y

Vysvětlivky symbolů	
Iz	Moment setrvačnosti kolem hlavní osy z
iy	Poloměr setrvačnosti kolem hlavní osy y
iz	Poloměr setrvačnosti kolem hlavní osy z
Wely	Pružný modul průřezu k hlavní ose y
Welz	Pružný modul průřezu k hlavní ose z
Wply	Plastický modul průřezu k hlavní ose y
Wplz	Plastický modul průřezu k hlavní ose z
Mply+	Plastický moment kolem hlavní osy y pro kladný moment My
Mply-	Plastický moment kolem hlavní osy y pro záporný moment My
Mplz+	Plastický moment kolem hlavní osy z pro kladný moment Mz
Mplz-	Plastický moment kolem hlavní osy z pro záporný moment Mz

Vysvětlivky symbolů	
dy	Souřadnice středu smyku ve směru hlavní osy y měřená od těžiště
dz	Souřadnice středu smyku ve směru hlavní osy z měřená od těžiště

Vysvětlivky symbolů	
It	Moment setrvačnosti v prostém kroucení
Iw	Výšečový moment setrvačnosti
β_y	Mono-symetrická konstanta kolem hlavní osy y
β_z	Mono-symetrická konstanta kolem hlavní osy z

16. Přehled zatěžovacích stavů

Jméno	Popis Spec	Typ působení Typ zatížení	Skupina zatížení	Směr	Působení	Řídicí zat. stav
ZS1	Vlastní tíha	Stálé Vlastní tíha	LG1	-Z		
ZS2	Ostatní stálé	Stálé Standard	LG1			
ZS3	Zatížení sněhem Standard	Proměnné Statické	LG2 - sníh		Krátkodobé	Žádný
ZS5	Zatížení větrem Standard	Proměnné Statické	LG3 - vítr		Krátkodobé	Žádný
ZS6	Zatížení větrem II Standard	Proměnné Statické	LG3 - vítr		Krátkodobé	Žádný
ZS8	Užitné zatížení - stropy, zábradlí Standard	Proměnné Statické	LG4 - užitné		Dlouhodobé	Žádný
ZS4	Zatížení sněhem - poloviční Standard	Proměnné Statické	LG2 - sníh		Krátkodobé	Žádný
ZS7	Zatížení větrem III Standard	Proměnné Statické	LG3 - vítr		Krátkodobé	Žádný
ZS9	Vlastní váha rámu a kabiny výtahu s příslušenstvím	Stálé Standard	LG1			

17. Skupiny zatížení

Jméno	Zatížení	Vztah	Typ
LG1	Stálé		
LG2 - sníh	Proměnné	Standard	Sníh
LG3 - vítr	Proměnné	Standard	Vítr
LG4 - užitné	Proměnné	Standard	Kat C : shromáždění

18. Kombinace

Jméno	Popis	Typ	Zatěžovací stavy	Souč. [-]
CO1		Obálka - únosnost	ZS1 - Vlastní tíha	1,00
CO2 - MSÚ		EN-MSÚ (STR/GEO) Soubor B	ZS1 - Vlastní tíha	1,00
			ZS2 - Ostatní stálé	1,00
			ZS3 - Zatížení sněhem	1,00
			ZS4 - Zatížení sněhem - poloviční	1,00

Jméno	Popis	Typ	Zatěžovací stavy	Souč. [-]
			ZS5 - Zatížení větrem	1,00
			ZS6 - Zatížení větrem II	1,00
			ZS7 - Zatížení větrem III	1,00
			ZS8 - Užité zatížení - stropy, zábradlí	1,00
			ZS9 - Vlastní váha rámu a kabiny výtahu s příslušenstvím	1,00
CO3 - MSP		EN-MSP charakteristická	ZS1 - Vlastní tíha	1,00
			ZS2 - Ostatní stálé	1,00
			ZS3 - Zatížení sněhem	1,00
			ZS4 - Zatížení sněhem - poloviční	1,00
			ZS5 - Zatížení větrem	1,00
			ZS6 - Zatížení větrem II	1,00
			ZS7 - Zatížení větrem III	1,00
			ZS8 - Užité zatížení - stropy, zábradlí	1,00
			ZS9 - Vlastní váha rámu a kabiny výtahu s příslušenstvím	1,00
CO4 - požární odolnost		Obálka - únosnost	ZS1 - Vlastní tíha	1,00
			ZS2 - Ostatní stálé	1,00
			ZS8 - Užité zatížení - stropy, zábradlí	1,00
			ZS9 - Vlastní váha rámu a kabiny výtahu s příslušenstvím	1,00

19. Reakce

Lineární výpočet, Extrém : Globální

Výběr : Vše

Kombinace : CO2 - MSÚ

Podpora	Stav	Rx [kN]	Ry [kN]	Rz [kN]
Sn42/N885	CO2 - MSÚ/24	-95,23	21,99	527,15
Sn2/N987	CO2 - MSÚ/2	88,61	-0,03	466,35
Sn37/N825	CO2 - MSÚ/12	3,26	-101,57	493,62
Sn45/N915	CO2 - MSÚ/37	-41,27	96,13	592,82
Sn47/N945	CO2 - MSÚ/1	41,51	-41,91	-83,67
Sn52/N826	CO2 - MSÚ/18	-3,32	2,95	865,14

20. Vnitřní síly na prutu - MSÚ

Lineární výpočet, Extrém : Průřez, Systém : Hlavní

Výběr : Vše

Kombinace : CO2 - MSÚ

Prvek	css	dx [m]	Stav	N [kN]	Vy [kN]	Vz [kN]	Mx [kNm]	My [kNm]	Mz [kNm]
B23	Žebra vodorovná_masivnější - OBDEL	1,566	CO2 - MSÚ/31	-76,57	0,25	1,59	0,17	2,50	-0,40
B2095	Žebra vodorovná_masivnější - OBDEL	1,958	CO2 - MSÚ/23	100,18	-0,02	3,37	-0,06	1,22	0,04
B35	Žebra vodorovná_masivnější - OBDEL	1,566	CO2 - MSÚ/66	45,36	-1,13	1,69	-0,08	3,58	1,78
B20	Žebra vodorovná_masivnější - OBDEL	0,000	CO2 - MSÚ/66	46,23	1,13	6,28	0,12	0,00	0,00
B3540	Žebra	3,928	CO2 - MSÚ/4	-10,86	-0,16	-49,59	-20,41	0,00	-0,19

Prvek	css	dx [m]	Stav	N [kN]	Vy [kN]	Vz [kN]	Mx [kNm]	My [kNm]	Mz [kNm]
	vodorovná_masivnější - OBDEL								
B3541	Žebra vodorovná_masivnější - OBDEL	0,000	CO2 - MSÚ/4	-11,32	0,11	49,66	20,51	0,00	0,00
B3540	Žebra vodorovná_masivnější - OBDEL	0,000	CO2 - MSÚ/4	-10,86	-0,16	-29,64	-20,41	155,61	0,42
B3541	Žebra vodorovná_masivnější - OBDEL	0,000	CO2 - MSÚ/30	-9,83	0,10	49,66	20,51	0,00	0,00
B2092	Žebra vodorovná_masivnější - OBDEL	1,958	CO2 - MSÚ/67	43,91	0,15	5,17	0,16	-0,82	-0,30
B20	Žebra vodorovná_masivnější - OBDEL	1,566	CO2 - MSÚ/68	-3,00	0,75	0,96	0,35	0,35	-1,17
B100	3.NP strop_vodorovné - OBDEL	0,000	CO2 - MSÚ/61	-31,24	0,00	5,54	-0,01	0,00	0,00
B2859	3.NP strop_vodorovné - OBDEL	0,000	CO2 - MSÚ/69	25,29	0,00	1,63	-0,05	0,00	0,00
B150	3.NP strop_vodorovné - OBDEL	0,000	CO2 - MSÚ/32	0,07	-0,75	0,05	0,03	0,00	0,00
B150	3.NP strop_vodorovné - OBDEL	0,000	CO2 - MSÚ/61	-5,35	0,68	-0,06	0,04	0,00	0,00
B3473	3.NP strop_vodorovné - OBDEL	2,769	CO2 - MSÚ/4	5,83	0,00	-12,58	-0,09	0,00	0,00
B3473	3.NP strop_vodorovné - OBDEL	0,000	CO2 - MSÚ/70	-1,01	0,00	12,58	-0,06	0,00	0,00
B2870	3.NP strop_vodorovné - OBDEL	0,000	CO2 - MSÚ/71	0,68	0,00	6,94	-1,21	0,77	0,00
B2876	3.NP strop_vodorovné - OBDEL	0,000	CO2 - MSÚ/71	0,69	0,00	6,94	1,20	0,77	0,00
B3476	3.NP strop_vodorovné - OBDEL	1,115	CO2 - MSÚ/72	-0,26	0,00	-5,17	-0,04	-1,56	0,00
B3473	3.NP strop_vodorovné - OBDEL	1,384	CO2 - MSÚ/4	5,83	0,00	0,00	-0,09	8,71	0,00
B150	3.NP strop_vodorovné - OBDEL	0,783	CO2 - MSÚ/32	0,07	-0,75	-0,05	0,03	0,00	-0,59
B150	3.NP strop_vodorovné - OBDEL	0,783	CO2 - MSÚ/61	-5,35	0,68	-0,06	0,04	0,00	0,54
B168	Výtah_vodorovné_5 - UPE300	0,000	CO2 - MSÚ/70	-76,33	1,07	-3,50	-1,37	-12,10	0,43
B175	Výtah_vodorovné_5 - UPE300	0,000	CO2 - MSÚ/68	36,88	0,05	-13,55	0,13	4,55	-0,72
B160	Výtah_vodorovné_5 - UPE300	0,000	CO2 - MSÚ/31	-7,42	-2,62	-42,54	0,09	16,90	0,56
B166	Výtah_vodorovné_5 - UPE300	0,000	CO2 - MSÚ/73	-53,08	2,63	-100,54	-0,37	47,65	-0,66
B166	Výtah_vodorovné_5 - UPE300	0,000	CO2 - MSÚ/74	-51,75	2,00	-101,32	-0,39	48,14	-0,68
B171	Výtah_vodorovné_5 - UPE300	0,392	CO2 - MSÚ/75	-52,37	-2,22	-102,29	0,42	48,77	-0,66

Prvek	css	dx [m]	Stav	N [kN]	Vy [kN]	Vz [kN]	Mx [kNm]	My [kNm]	Mz [kNm]
B170	Výtah_vodorovné_5 - UPE300	0,000	CO2 - MSÚ/75	-57,67	0,13	53,50	-1,87	-12,34	0,16
B167	Výtah_vodorovné_5 - UPE300	0,000	CO2 - MSÚ/74	-52,04	-0,53	-52,73	1,83	8,39	0,11
B169	Výtah_vodorovné_5 - UPE300	0,000	CO2 - MSÚ/75	-61,06	-1,17	4,93	1,39	-14,32	0,62
B163	Výtah_vodorovné_5 - UPE300	0,000	CO2 - MSÚ/61	6,63	0,42	-32,64	-0,05	11,88	-1,05
B169	Výtah_vodorovné_5 - UPE300	0,000	CO2 - MSÚ/61	-62,91	-1,23	4,84	1,13	-12,10	1,12
B860	Výtah_vodorovné_1 - CFRHS100X100X6	0,000	CO2 - MSÚ/18	-9,77	2,47	-7,40	0,00	3,99	-2,50
B1267	Výtah_vodorovné_1 - CFRHS100X100X6	0,000	CO2 - MSÚ/10	10,14	11,15	22,01	0,86	-12,85	-5,32
B1268	Výtah_vodorovné_1 - CFRHS100X100X6	0,000	CO2 - MSÚ/2	9,69	-11,29	-22,68	-0,87	12,78	7,54
B1267	Výtah_vodorovné_1 - CFRHS100X100X6	0,000	CO2 - MSÚ/2	9,64	11,30	22,97	0,87	-13,43	-5,42
B859	Výtah_vodorovné_1 - CFRHS100X100X6	1,148	CO2 - MSÚ/76	2,06	-8,29	-26,16	-0,80	-15,49	-3,99
B858	Výtah_vodorovné_1 - CFRHS100X100X6	0,000	CO2 - MSÚ/77	2,96	8,36	25,50	0,81	-15,07	-3,95
B185	Výtah_vodorovné_1 - CFRHS100X100X6	0,000	CO2 - MSÚ/78	2,34	3,26	4,77	-0,92	-2,40	0,79
B186	Výtah_vodorovné_1 - CFRHS100X100X6	0,000	CO2 - MSÚ/78	2,34	-3,21	-4,52	0,92	2,93	4,53
B859	Výtah_vodorovné_1 - CFRHS100X100X6	0,000	CO2 - MSÚ/76	2,06	-8,29	-25,94	-0,80	14,42	5,53
B1268	Výtah_vodorovné_1 - CFRHS100X100X6	1,148	CO2 - MSÚ/76	8,86	-11,25	-23,61	-0,87	-13,82	-5,48
B1267	Výtah_vodorovné_1 - CFRHS100X100X6	1,148	CO2 - MSÚ/4	9,65	11,26	22,45	0,84	12,65	7,56
B849	Výtah_vodorovné_2 - CFRHS100X100X3	0,000	CO2 - MSÚ/18	-6,61	-0,09	3,54	0,04	-2,18	-0,10
B853	Výtah_vodorovné_2 - CFRHS100X100X3	0,000	CO2 - MSÚ/28	4,37	-1,30	-8,00	-0,12	4,90	0,43
B195	Výtah_vodorovné_2 - CFRHS100X100X3	0,000	CO2 - MSÚ/73	-3,62	-1,94	-2,62	-0,17	1,43	0,70
B196	Výtah_vodorovné_2 - CFRHS100X100X3	0,000	CO2 - MSÚ/73	-3,99	1,92	2,16	0,19	-1,35	-1,50
B641	Výtah_vodorovné_2 - CFRHS100X100X3	1,148	CO2 - MSÚ/2	3,01	-1,39	-12,24	-0,11	-6,71	-1,00
B646	Výtah_vodorovné_2 - CFRHS100X100X3	0,000	CO2 - MSÚ/2	3,03	1,39	12,25	0,11	-6,72	-1,00
B195	Výtah_vodorovné_2 - CFRHS100X100X3	0,000	CO2 - MSÚ/79	-1,76	-0,81	1,46	-0,33	-0,83	0,99
B196	Výtah_vodorovné_2 - CFRHS100X100X3	0,000	CO2 - MSÚ/79	-1,71	0,85	-1,30	0,33	0,76	0,06
B646	Výtah_vodorovné_2 - CFRHS100X100X3	1,148	CO2 - MSÚ/2	3,03	1,39	12,13	0,11	7,27	0,59
B195	Výtah_vodorovné_2 - CFRHS100X100X3	1,148	CO2 - MSÚ/61	-3,10	-1,91	-3,83	-0,11	-2,25	-1,64

Prvek	css	dx [m]	Stav	N [kN]	Vy [kN]	Vz [kN]	Mx [kNm]	My [kNm]	Mz [kNm]
B196	Výtah_vodorovné_2 - CFRHS100X100X3	1,148	CO2 - MSÚ/79	-1,71	0,85	-1,42	0,33	-0,81	1,03
B2693	Výtah_svislé_3 - CFRHS140X140X4	1,350	CO2 - MSÚ/80	-33,02	0,08	-3,00	-0,02	-4,05	0,10
B354	Výtah_svislé_3 - CFRHS140X140X4	1,500	CO2 - MSÚ/28	46,23	0,88	-5,54	-0,19	-0,42	-1,88
B2687	Výtah_svislé_3 - CFRHS140X140X4	0,000	CO2 - MSÚ/63	11,54	-4,99	-0,85	-3,79	0,00	0,00
B2685	Výtah_svislé_3 - CFRHS140X140X4	1,350	CO2 - MSÚ/63	-14,21	4,31	-0,02	-0,01	-0,03	5,82
B354	Výtah_svislé_3 - CFRHS140X140X4	0,000	CO2 - MSÚ/18	41,53	0,80	-5,75	-0,20	8,17	-3,01
B360	Výtah_svislé_3 - CFRHS140X140X4	0,000	CO2 - MSÚ/50	35,27	0,86	5,60	0,29	-8,03	-3,01
B2683	Výtah_svislé_3 - CFRHS140X140X4	0,000	CO2 - MSÚ/63	11,24	-0,79	-4,91	3,79	0,00	0,00
B2687	Výtah_svislé_3 - CFRHS140X140X4	1,350	CO2 - MSÚ/63	11,29	-4,99	-0,85	-3,79	-1,14	-6,73
B288	3.NP_svislé - HEA280	0,000	CO2 - MSÚ/63	-47,20	0,18	-49,66	0,00	75,45	-0,28
B216	3.NP_svislé - HEA280	0,000	CO2 - MSÚ/81	41,11	0,17	-18,79	0,18	29,15	-0,26
B320	3.NP_svislé - HEA280	0,000	CO2 - MSÚ/31	-2,44	-2,81	5,66	0,01	127,48	2,34
B271	3.NP_svislé - HEA280	0,000	CO2 - MSÚ/31	-3,12	2,77	5,65	-0,01	127,49	-2,30
B253	3.NP_svislé - HEA280	1,500	CO2 - MSÚ/75	-39,57	-0,39	-63,65	0,03	0,00	0,00
B366	3.NP_svislé - HEA280	0,000	CO2 - MSÚ/77	-4,71	0,11	47,49	-0,02	0,00	0,00
B246	3.NP_svislé - HEA280	0,000	CO2 - MSÚ/76	-10,09	-0,15	-57,48	-0,59	87,18	0,23
B216	3.NP_svislé - HEA280	0,000	CO2 - MSÚ/77	-10,09	0,24	-57,48	0,58	87,19	-0,36
B223	3.NP_svislé - HEA280	1,500	CO2 - MSÚ/66	-35,14	0,67	-63,34	-0,03	0,00	0,00
B286	3.NP_svislé - HEA280	0,000	CO2 - MSÚ/82	-17,68	-0,08	-11,96	-0,01	168,48	0,04
B242	3.NP_svislé - HEA280	1,500	CO2 - MSÚ/32	-2,18	-2,44	6,42	0,01	46,50	-2,38
B312	3.NP_svislé - HEA280	1,500	CO2 - MSÚ/61	-4,83	2,48	18,39	0,02	127,47	2,40
B405	2.NP_svislé - HEA340	0,000	CO2 - MSÚ/32	-19,02	0,56	-13,85	0,00	80,26	-0,59
B488	2.NP_svislé - HEA340	0,000	CO2 - MSÚ/3	63,59	0,06	-74,64	0,13	60,78	-0,05
B5013	2.NP_svislé - HEA340	0,000	CO2 - MSÚ/8	4,57	-4,68	13,50	0,00	0,00	0,00
B4978	2.NP_svislé - HEA340	0,000	CO2 - MSÚ/8	7,20	5,66	13,50	0,00	0,00	0,00
B479	2.NP_svislé - HEA340	0,809	CO2 - MSÚ/2	11,59	-0,35	-103,57	0,00	0,00	0,00
B453	2.NP_svislé - HEA340	0,000	CO2 - MSÚ/77	12,57	0,01	68,27	-0,03	0,00	0,00
B5011	2.NP_svislé - HEA340	0,000	CO2 - MSÚ/50	2,11	1,27	43,95	-1,00	0,00	0,00
B5012	2.NP_svislé - HEA340	0,000	CO2 - MSÚ/50	2,21	-1,09	42,18	1,12	0,00	0,00
B380	2.NP_svislé - HEA340	0,809	CO2 - MSÚ/52	-3,51	0,52	-103,53	0,01	0,00	0,00
B422	2.NP_svislé - HEA340	0,000	CO2 - MSÚ/76	9,50	-0,11	-16,82	-0,02	294,89	0,04
B4963	2.NP_svislé - HEA340	0,000	CO2 - MSÚ/8	15,38	3,20	6,13	-0,01	9,43	-3,28
B4978	2.NP_svislé - HEA340	0,702	CO2 - MSÚ/8	7,20	5,66	12,67	0,00	9,18	3,98
B832	Výtah_svislé_2 - CFRHS140X140X6	0,000	CO2 - MSÚ/18	-473,85	8,77	16,74	-1,06	-7,61	-2,67
B601	Výtah_svislé_2 - CFRHS140X140X6	0,000	CO2 - MSÚ/18	-150,44	-2,98	9,13	0,60	-5,99	1,65
B604	Výtah_svislé_2 - CFRHS140X140X6	1,500	CO2 - MSÚ/2	-176,86	10,50	0,17	-0,07	-0,16	10,84
B826	Výtah_svislé_2 -	0,000	CO2 - MSÚ/37	-458,74	8,37	-18,79	1,06	8,58	-2,38

Prvek	css	dx [m]	Stav	N [kN]	Vy [kN]	Vz [kN]	Mx [kNm]	My [kNm]	Mz [kNm]
	CFRHS140X140X6								
B832	Výtah_svislé_2 - CFRHS140X140X6	1,500	CO2 - MSÚ/2	-459,32	8,56	18,72	-1,08	19,49	10,33
B832	Výtah_svislé_2 - CFRHS140X140X6	0,000	CO2 - MSÚ/37	-460,67	8,70	18,14	-1,09	-8,30	-2,68
B826	Výtah_svislé_2 - CFRHS140X140X6	0,000	CO2 - MSÚ/2	-458,96	8,57	-18,71	1,08	8,60	-2,53
B826	Výtah_svislé_2 - CFRHS140X140X6	1,500	CO2 - MSÚ/37	-458,32	8,37	-18,79	1,06	-19,60	10,18
B604	Výtah_svislé_2 - CFRHS140X140X6	0,000	CO2 - MSÚ/2	-177,27	10,50	0,17	-0,07	-0,42	-4,90
B604	Výtah_svislé_2 - CFRHS140X140X6	1,500	CO2 - MSÚ/37	-174,58	10,47	0,56	-0,04	0,27	10,98
B635	Výtah_vodorovné_4 - UPE360	0,000	CO2 - MSÚ/32	-7,85	0,66	19,85	-0,22	-1,14	0,69
B629	Výtah_vodorovné_4 - UPE360	0,000	CO2 - MSÚ/83	87,74	0,69	27,57	0,34	1,62	-0,67
B620	Výtah_vodorovné_4 - UPE360	0,000	CO2 - MSÚ/76	44,39	-3,75	149,90	0,32	12,31	0,25
B615	Výtah_vodorovné_4 - UPE360	0,000	CO2 - MSÚ/76	44,10	3,77	-147,99	-0,22	69,59	-1,29
B615	Výtah_vodorovné_4 - UPE360	0,000	CO2 - MSÚ/74	31,93	3,30	-149,55	-0,32	70,77	-1,30
B620	Výtah_vodorovné_4 - UPE360	0,392	CO2 - MSÚ/75	35,79	-3,36	150,76	0,39	71,62	-1,26
B619	Výtah_vodorovné_4 - UPE360	0,000	CO2 - MSÚ/28	52,51	0,71	81,02	-2,92	-19,37	-0,22
B616	Výtah_vodorovné_4 - UPE360	0,000	CO2 - MSÚ/41	51,13	-0,97	-80,07	2,88	12,03	-0,01
B618	Výtah_vodorovné_4 - UPE360	0,000	CO2 - MSÚ/28	52,02	-1,86	11,61	2,18	-23,97	0,51
B620	Výtah_vodorovné_4 - UPE360	0,392	CO2 - MSÚ/4	51,86	-3,44	149,25	0,28	70,47	-1,35
B636	Výtah_vodorovné_4 - UPE360	0,000	CO2 - MSÚ/79	27,79	-0,48	-53,04	-0,42	21,35	1,24
B2779	1.NP_svislé - HEA400	0,000	CO2 - MSÚ/69	-20,83	-0,17	-19,34	0,22	30,39	0,26
B799	1.NP_svislé - HEA400	0,000	CO2 - MSÚ/3	139,68	1,06	-74,83	0,02	113,83	-1,59
B3506	1.NP_svislé - HEA400	0,000	CO2 - MSÚ/49	18,16	-5,80	14,22	-0,01	0,00	0,00
B3515	1.NP_svislé - HEA400	1,495	CO2 - MSÚ/26	111,30	9,76	-33,83	-0,07	0,15	0,07
B713	1.NP_svislé - HEA400	1,500	CO2 - MSÚ/75	57,89	-0,73	-108,57	0,00	0,00	0,00
B705	1.NP_svislé - HEA400	0,000	CO2 - MSÚ/75	32,80	0,12	77,24	0,17	0,00	0,00
B3497	1.NP_svislé - HEA400	0,000	CO2 - MSÚ/37	59,18	0,02	41,66	-0,86	33,65	-0,06
B2779	1.NP_svislé - HEA400	0,000	CO2 - MSÚ/4	-7,68	0,21	-61,42	0,66	93,72	-0,32
B3501	1.NP_svislé - HEA400	0,000	CO2 - MSÚ/84	22,06	0,44	60,59	0,24	-6,83	-0,31
B709	1.NP_svislé - HEA400	1,500	CO2 - MSÚ/75	45,42	-0,12	11,93	0,05	355,46	0,51
B3506	1.NP_svislé - HEA400	0,702	CO2 - MSÚ/49	18,16	-5,80	13,36	-0,01	9,68	-4,07
B773	1.NP_svislé - HEA400	1,500	CO2 - MSÚ/27	61,50	3,04	-10,74	0,01	264,53	3,34
B3212	Výtah_vodorovné_3 - UPE400	0,391	CO2 - MSÚ/85	-205,20	0,71	3,22	0,07	1,55	0,86
B812	Výtah_vodorovné_3 -	0,000	CO2 - MSÚ/6	208,75	1,14	-14,25	-1,86	-17,84	-1,36

Prvek	css	dx [m]	Stav	N [kN]	Vy [kN]	Vz [kN]	Mx [kNm]	My [kNm]	Mz [kNm]
	UPE400								
B3220	Výtah_vodorovné_3 - UPE400	0,000	CO2 - MSÚ/79	-95,99	-66,29	8,55	-0,50	-1,93	3,09
B3232	Výtah_vodorovné_3 - UPE400	0,000	CO2 - MSÚ/63	-41,16	66,21	1,30	-0,18	-1,26	-3,29
B810	Výtah_vodorovné_3 - UPE400	0,000	CO2 - MSÚ/41	183,03	4,02	-172,41	-0,52	82,71	-1,95
B815	Výtah_vodorovné_3 - UPE400	0,392	CO2 - MSÚ/28	186,70	-4,51	172,68	0,58	83,25	-1,92
B814	Výtah_vodorovné_3 - UPE400	0,000	CO2 - MSÚ/28	191,23	1,55	95,15	-3,52	-21,86	-0,76
B811	Výtah_vodorovné_3 - UPE400	0,000	CO2 - MSÚ/41	190,30	-1,50	-93,98	3,47	15,04	-0,38
B813	Výtah_vodorovné_3 - UPE400	0,000	CO2 - MSÚ/28	193,61	-2,08	17,97	2,24	-29,01	0,05
B3212	Výtah_vodorovné_3 - UPE400	0,000	CO2 - MSÚ/63	-20,75	12,96	-6,02	0,23	1,57	-29,23
B3227	Výtah_vodorovné_3 - UPE400	0,392	CO2 - MSÚ/63	-54,04	16,98	-9,49	0,34	-1,46	31,42
B1227	Výtah_svislé - CFRHS140X140X8	0,000	CO2 - MSÚ/18	-864,85	-0,53	2,49	1,06	0,42	0,11
B846	Výtah_svislé - CFRHS140X140X8	0,000	CO2 - MSÚ/86	-357,38	-3,11	9,93	0,70	-6,46	1,70
B1228	Výtah_svislé - CFRHS140X140X8	0,000	CO2 - MSÚ/28	-830,99	13,04	14,10	-1,52	-6,55	-5,27
B1222	Výtah_svislé - CFRHS140X140X8	1,500	CO2 - MSÚ/13	-821,90	12,32	-16,17	1,53	-16,91	13,49
B1228	Výtah_svislé - CFRHS140X140X8	0,000	CO2 - MSÚ/52	-822,96	12,55	16,00	-1,51	-7,32	-5,12
B1228	Výtah_svislé - CFRHS140X140X8	0,000	CO2 - MSÚ/70	-832,71	12,83	14,85	-1,59	-6,80	-5,32
B1222	Výtah_svislé - CFRHS140X140X8	0,000	CO2 - MSÚ/70	-831,67	12,38	-15,38	1,54	7,00	-4,95
B830	Výtah_svislé - CFRHS140X140X8	0,000	CO2 - MSÚ/77	-469,71	0,64	14,20	0,81	-20,01	-4,05
B824	Výtah_svislé - CFRHS140X140X8	0,000	CO2 - MSÚ/76	-469,13	0,74	-14,68	-0,80	20,61	-4,34
B1228	Výtah_svislé - CFRHS140X140X8	0,000	CO2 - MSÚ/37	-814,85	12,88	15,60	-1,56	-7,14	-5,34
B1228	Výtah_svislé - CFRHS140X140X8	1,500	CO2 - MSÚ/28	-830,45	13,04	14,10	-1,52	14,60	14,29
B949	1.NP strop_vodorovné - OBDEL	0,000	CO2 - MSÚ/80	-11,45	0,00	1,66	0,00	0,00	0,00
B955	1.NP strop_vodorovné - OBDEL	0,000	CO2 - MSÚ/6	37,70	0,00	5,58	0,01	0,00	0,00
B3520	1.NP strop_vodorovné - OBDEL	2,739	CO2 - MSÚ/37	10,11	-18,47	13,72	0,00	-0,03	0,04
B3520	1.NP strop_vodorovné - OBDEL	0,000	CO2 - MSÚ/21	7,42	0,02	9,39	0,25	0,00	0,00
B3534	1.NP strop_vodorovné - OBDEL	3,559	CO2 - MSÚ/18	3,90	0,00	-16,25	-0,36	0,00	0,00
B3534	1.NP strop_vodorovné -	0,000	CO2 - MSÚ/2	6,23	0,00	16,25	-0,36	0,00	0,00

Prvek	css	dx [m]	Stav	N [kN]	Vy [kN]	Vz [kN]	Mx [kNm]	My [kNm]	Mz [kNm]
	OBDEL								
B3490	1.NP strop_vodorovné - OBDEL	0,000	CO2 - MSÚ/84	9,72	0,00	3,21	-1,89	0,00	0,00
B979	1.NP strop_vodorovné - OBDEL	0,000	CO2 - MSÚ/37	28,10	0,00	0,08	1,74	0,00	0,00
B2813	1.NP strop_vodorovné - OBDEL	2,105	CO2 - MSÚ/77	8,17	0,00	-15,92	0,85	-13,27	0,00
B3534	1.NP strop_vodorovné - OBDEL	1,779	CO2 - MSÚ/18	3,90	0,00	0,00	-0,36	14,46	0,00
B3527	1.NP strop_vodorovné - OBDEL	3,163	CO2 - MSÚ/24	5,50	-0,02	-11,17	-0,33	0,30	-0,07
B3520	1.NP strop_vodorovné - OBDEL	2,739	CO2 - MSÚ/21	7,42	0,02	-10,11	0,25	-0,99	0,05
B1618	seříznutí oblouk - OBDEL	0,000	CO2 - MSÚ/10	-203,33	0,05	-0,37	0,00	-0,01	0,00
B1635	seříznutí oblouk - OBDEL	0,000	CO2 - MSÚ/5	26,10	-1,10	0,41	-0,02	0,02	1,50
B1633	seříznutí oblouk - OBDEL	0,000	CO2 - MSÚ/87	-35,39	-6,37	-0,27	0,03	4,88	2,81
B1630	seříznutí oblouk - OBDEL	0,000	CO2 - MSÚ/31	-43,26	6,74	-0,90	-0,18	3,74	-1,98
B1631	seříznutí oblouk - OBDEL	2,307	CO2 - MSÚ/88	-12,88	-1,17	-10,31	-0,03	-12,27	-1,48
B1632	seříznutí oblouk - OBDEL	0,000	CO2 - MSÚ/88	-13,19	1,11	10,55	0,02	-12,23	-1,41
B1632	seříznutí oblouk - OBDEL	0,000	CO2 - MSÚ/61	-34,16	-1,79	1,41	-0,20	-0,71	2,63
B1627	seříznutí oblouk - OBDEL	0,000	CO2 - MSÚ/31	-36,47	-1,41	0,65	0,23	0,04	1,01
B1632	seříznutí oblouk - OBDEL	2,283	CO2 - MSÚ/88	-13,22	1,11	10,23	0,02	11,49	1,13
B1627	seříznutí oblouk - OBDEL	2,458	CO2 - MSÚ/31	-36,26	-1,41	0,37	0,23	1,29	-2,45
B1628	seříznutí oblouk - OBDEL	1,850	CO2 - MSÚ/31	-35,34	3,89	-4,44	0,02	-6,57	4,86
B1816	2.NP strop_vodorovné - OBDEL	0,000	CO2 - MSÚ/80	-11,63	0,00	1,65	0,00	0,00	0,00
B1798	2.NP strop_vodorovné - OBDEL	0,000	CO2 - MSÚ/88	19,38	0,00	1,90	0,00	0,00	0,00
B1845	2.NP strop_vodorovné - OBDEL	0,000	CO2 - MSÚ/89	7,75	0,00	0,06	-0,08	0,00	0,00
B1858	2.NP strop_vodorovné - OBDEL	0,000	CO2 - MSÚ/90	5,64	0,00	0,06	-0,49	0,00	0,00
B4992	2.NP strop_vodorovné - OBDEL	3,524	CO2 - MSÚ/2	4,64	0,00	-16,07	-0,17	0,00	0,00
B4992	2.NP strop_vodorovné - OBDEL	0,000	CO2 - MSÚ/18	1,39	0,00	16,07	-0,16	0,00	0,00
B1858	2.NP strop_vodorovné - OBDEL	0,000	CO2 - MSÚ/2	8,86	0,00	0,07	-1,71	0,00	0,00
B1841	2.NP strop_vodorovné - OBDEL	0,000	CO2 - MSÚ/37	9,69	0,00	0,07	1,72	0,00	0,00
B1669	2.NP strop_vodorovné - OBDEL	0,000	CO2 - MSÚ/37	5,88	0,00	12,66	-1,24	-10,81	0,00
B4992	2.NP strop_vodorovné - OBDEL	1,762	CO2 - MSÚ/28	2,40	0,00	0,00	-0,16	14,16	0,00
B2625	Žebra vodorovná - OBDEL	0,000	CO2 - MSÚ/88	-102,60	0,00	0,06	-0,01	0,00	0,00
B2620	Žebra vodorovná - OBDEL	0,000	CO2 - MSÚ/63	46,17	0,00	0,06	0,01	0,00	0,00
B2583	Žebra vodorovná - OBDEL	0,000	CO2 - MSÚ/31	-63,95	-0,38	-0,92	0,00	0,00	0,00
B2583	Žebra vodorovná - OBDEL	1,175	CO2 - MSÚ/91	-51,39	0,36	0,96	0,00	-1,08	-0,43
B2583	Žebra vodorovná - OBDEL	1,175	CO2 - MSÚ/31	-63,95	-0,38	-1,00	0,00	-1,13	-0,45
B2631	Žebra vodorovná - OBDEL	0,000	CO2 - MSÚ/57	-14,08	0,00	0,03	-0,07	0,00	0,00

Prvek	css	dx [m]	Stav	N [kN]	Vy [kN]	Vz [kN]	Mx [kNm]	My [kNm]	Mz [kNm]
B2627	Žebra vodorovná - OBDEL	0,000	CO2 - MSÚ/31	-36,10	0,00	0,03	0,10	0,00	0,00
B2598	Žebra vodorovná - OBDEL	1,175	CO2 - MSÚ/92	32,39	0,15	0,31	-0,01	0,40	0,17
B2455	Žebra vodorovná - OBDEL	1,918	CO2 - MSÚ/31	3,68	-0,31	0,02	0,00	0,17	-0,60
B2105	Žebra svislá - OBDEL	0,000	CO2 - MSÚ/26	-609,38	-1,81	-46,48	0,06	0,10	0,01
B2203	Žebra svislá - OBDEL	1,502	CO2 - MSÚ/11	50,82	0,17	-1,25	-0,05	-2,04	0,14
B3160	Žebra svislá - OBDEL	0,000	CO2 - MSÚ/93	-125,23	-5,26	-12,36	0,18	19,55	2,48
B3149	Žebra svislá - OBDEL	0,000	CO2 - MSÚ/8	-150,25	4,95	-13,74	-0,30	19,00	-1,97
B2407	Žebra svislá - OBDEL	1,502	CO2 - MSÚ/3	-479,65	-1,39	-52,95	0,20	-7,92	-1,33
B2406	Žebra svislá - OBDEL	1,502	CO2 - MSÚ/3	-567,74	0,74	78,62	0,12	72,79	0,83
B3160	Žebra svislá - OBDEL	0,000	CO2 - MSÚ/70	-230,59	4,43	-20,27	-0,74	27,52	-1,70
B3149	Žebra svislá - OBDEL	0,000	CO2 - MSÚ/41	-279,80	-4,71	-25,84	0,77	37,90	2,33
B2105	Žebra svislá - OBDEL	1,549	CO2 - MSÚ/26	-608,55	-1,81	-46,27	0,06	-71,75	-2,79
B3153	Žebra svislá - OBDEL	1,502	CO2 - MSÚ/4	-460,13	0,04	64,66	0,02	77,87	0,19
B3160	Žebra svislá - OBDEL	1,502	CO2 - MSÚ/94	-163,31	-5,25	-16,44	0,19	0,84	-5,51
B3149	Žebra svislá - OBDEL	1,502	CO2 - MSÚ/8	-149,42	4,95	-13,78	-0,30	-1,66	5,46
B2408	Žebra svislá_2 - OBDEL	0,000	CO2 - MSÚ/3	-429,94	2,05	-7,68	0,05	-7,89	-1,34
B2207	Žebra svislá_2 - OBDEL	1,680	CO2 - MSÚ/32	73,94	0,11	3,49	-0,03	8,76	-0,05
B3131	Žebra svislá_2 - OBDEL	0,000	CO2 - MSÚ/94	-128,95	-5,34	-12,16	0,20	12,95	4,42
B3121	Žebra svislá_2 - OBDEL	0,000	CO2 - MSÚ/94	-131,32	5,16	-15,76	-0,25	16,67	-3,97
B2410	Žebra svislá_2 - OBDEL	1,602	CO2 - MSÚ/85	-307,38	0,93	-34,57	0,05	-16,70	0,44
B2358	Žebra svislá_2 - OBDEL	0,000	CO2 - MSÚ/6	-361,95	-0,03	37,37	0,08	-23,73	0,35
B3162	Žebra svislá_2 - OBDEL	0,000	CO2 - MSÚ/78	-213,15	0,63	20,00	-0,52	-2,97	-0,87
B3151	Žebra svislá_2 - OBDEL	0,000	CO2 - MSÚ/95	-246,53	-0,49	24,52	0,46	-2,47	0,93
B3122	Žebra svislá_2 - OBDEL	1,680	CO2 - MSÚ/3	-242,41	-0,32	-7,02	0,21	-30,12	1,31
B3156	Žebra svislá_2 - OBDEL	1,549	CO2 - MSÚ/2	-297,53	0,06	31,38	0,00	46,00	0,04
B3162	Žebra svislá_2 - OBDEL	1,549	CO2 - MSÚ/50	-220,41	-3,37	21,39	-0,28	30,34	-5,53
B3151	Žebra svislá_2 - OBDEL	1,549	CO2 - MSÚ/18	-197,15	3,46	19,03	0,27	26,54	5,77
B3134	Žebra svislá_3 - OBDEL	0,000	CO2 - MSÚ/3	-269,43	-0,77	-6,65	0,47	13,76	1,56
B2209	Žebra svislá_3 - OBDEL	1,977	CO2 - MSÚ/32	81,74	0,55	-5,75	-0,10	4,74	-0,08
B3143	Žebra svislá_3 - OBDEL	0,000	CO2 - MSÚ/31	-249,80	-12,15	16,48	0,35	0,00	0,00
B2124	Žebra svislá_3 - OBDEL	0,000	CO2 - MSÚ/31	-171,49	18,24	-13,86	-0,32	21,23	-14,86
B3142	Žebra svislá_3 - OBDEL	0,633	CO2 - MSÚ/3	-124,58	0,23	-17,21	-0,05	-10,84	0,14
B3133	Žebra svislá_3 - OBDEL	0,000	CO2 - MSÚ/85	-261,00	-0,10	26,51	-0,09	-24,86	-0,20
B3125	Žebra svislá_3 - OBDEL	0,000	CO2 - MSÚ/2	-156,35	3,81	-11,16	-0,72	0,00	0,00
B3143	Žebra svislá_3 - OBDEL	0,000	CO2 - MSÚ/4	-171,56	-5,51	12,53	0,61	0,00	0,00
B3123	Žebra svislá_3 - OBDEL	0,000	CO2 - MSÚ/3	-241,59	-0,32	21,09	0,36	-30,12	1,27
B2379	Žebra svislá_3 - OBDEL	0,000	CO2 - MSÚ/63	36,42	0,72	-13,54	-0,03	33,11	-1,33
B3143	Žebra svislá_3 - OBDEL	1,257	CO2 - MSÚ/31	-249,47	-12,15	16,12	0,35	20,48	-15,27
B3125	Žebra svislá_3 - OBDEL	1,254	CO2 - MSÚ/31	-221,86	5,66	-12,64	-0,66	-15,63	7,09
B2125	Žebra svislá_4 - OBDEL	0,000	CO2 - MSÚ/6	-119,24	-0,71	0,26	0,09	8,06	1,77
B3207	Žebra svislá_4 - OBDEL	1,506	CO2 - MSÚ/32	56,05	0,22	-4,70	-0,19	0,00	0,00
B2134	Žebra svislá_4 - OBDEL	0,000	CO2 - MSÚ/31	-6,68	-1,67	-0,12	0,03	-0,14	3,53
B2128	Žebra svislá_4 - OBDEL	0,000	CO2 - MSÚ/61	13,52	2,11	0,17	-0,03	-0,25	-4,26
B3239	Žebra svislá_4 - OBDEL	1,507	CO2 - MSÚ/80	-9,23	-0,02	-11,01	-0,01	0,00	0,00
B3229	Žebra svislá_4 - OBDEL	0,000	CO2 - MSÚ/63	-26,55	0,15	12,28	-0,05	-18,11	-0,22
B2137	Žebra svislá_4 - OBDEL	0,000	CO2 - MSÚ/31	-96,34	1,39	2,38	-0,33	-9,69	-3,55
B3224	Žebra svislá_4 - OBDEL	0,000	CO2 - MSÚ/63	-26,78	-0,21	12,00	0,28	-17,74	0,32

Prvek	css	dx [m]	Stav	N [kN]	Vy [kN]	Vz [kN]	Mx [kNm]	My [kNm]	Mz [kNm]
B2131	Žebra svislá_4 - OBDEL	2,253	CO2 - MSÚ/96	-39,86	1,13	-8,68	-0,17	-18,14	0,88
B2131	Žebra svislá_4 - OBDEL	2,253	CO2 - MSÚ/80	-22,03	0,01	7,90	-0,01	17,68	0,01
B2125	Žebra svislá_4 - OBDEL	0,000	CO2 - MSÚ/31	-104,07	-1,42	-2,94	0,15	6,89	3,80
B3116	seřiznutí_vodorovné pruty - OBDEL	0,000	CO2 - MSÚ/97	-36,68	0,00	0,10	0,00	0,00	0,00
B3032	seřiznutí_vodorovné pruty - OBDEL	0,000	CO2 - MSÚ/41	45,00	0,00	0,12	0,00	0,00	0,00
B3056	seřiznutí_vodorovné pruty - OBDEL	1,801	CO2 - MSÚ/52	6,65	-0,04	0,05	0,00	0,01	0,07
B3056	seřiznutí_vodorovné pruty - OBDEL	0,000	CO2 - MSÚ/66	9,29	0,06	0,07	0,02	0,00	0,00
B3095	seřiznutí_vodorovné pruty - OBDEL	4,899	CO2 - MSÚ/65	-0,61	0,00	-0,19	0,00	0,00	0,00
B3095	seřiznutí_vodorovné pruty - OBDEL	0,000	CO2 - MSÚ/65	-0,61	0,00	0,19	0,00	0,00	0,00
B3118	seřiznutí_vodorovné pruty - OBDEL	0,000	CO2 - MSÚ/34	-4,82	0,00	0,10	-0,06	0,00	0,00
B3084	seřiznutí_vodorovné pruty - OBDEL	0,000	CO2 - MSÚ/22	-3,69	-0,02	0,04	0,06	0,00	0,00
B3024	seřiznutí_vodorovné pruty - OBDEL	1,793	CO2 - MSÚ/41	23,66	0,00	0,11	0,00	-0,10	0,00
B3095	seřiznutí_vodorovné pruty - OBDEL	2,450	CO2 - MSÚ/65	-0,61	0,00	0,00	0,00	0,23	0,00
B3084	seřiznutí_vodorovné pruty - OBDEL	1,793	CO2 - MSÚ/61	2,00	-0,02	-0,08	0,05	-0,03	-0,04
B3056	seřiznutí_vodorovné pruty - OBDEL	1,801	CO2 - MSÚ/66	9,29	0,06	-0,05	0,02	0,01	0,12
B3106	seřiznutí_vodorovné masivnější - OBDEL	0,000	CO2 - MSÚ/98	-35,09	0,15	-26,92	0,43	51,93	-0,28
B3106	seřiznutí_vodorovné masivnější - OBDEL	0,000	CO2 - MSÚ/88	60,16	-0,04	-11,86	-0,27	23,45	0,08
B3042	seřiznutí_vodorovné masivnější - OBDEL	0,000	CO2 - MSÚ/49	6,77	-1,61	-13,35	1,11	40,96	0,32
B3071	seřiznutí_vodorovné masivnější - OBDEL	0,000	CO2 - MSÚ/8	-2,16	1,32	11,91	-0,10	34,67	-0,59
B3040	seřiznutí_vodorovné masivnější - OBDEL	2,272	CO2 - MSÚ/52	31,00	0,12	-56,44	0,43	0,00	0,00
B3041	seřiznutí_vodorovné masivnější - OBDEL	0,000	CO2 - MSÚ/84	24,67	-0,12	56,35	-3,54	0,00	0,00
B2814	seřiznutí_vodorovné masivnější - OBDEL	0,000	CO2 - MSÚ/77	17,60	0,21	14,64	-5,79	0,00	0,00
B3034	seřiznutí_vodorovné masivnější - OBDEL	0,000	CO2 - MSÚ/76	14,12	-0,19	14,61	5,95	0,00	0,00
B3099	seřiznutí_vodorovné masivnější - OBDEL	1,793	CO2 - MSÚ/99	-11,94	0,02	9,39	0,49	-3,87	0,03
B3042	seřiznutí_vodorovné masivnější - OBDEL	0,000	CO2 - MSÚ/84	25,22	-0,56	-41,39	3,14	129,67	0,03
B3044	seřiznutí_vodorovné masivnější - OBDEL	1,286	CO2 - MSÚ/49	8,33	-0,92	0,53	0,15	1,05	-1,18
B3036	seřiznutí_vodorovné masivnější - OBDEL	2,301	CO2 - MSÚ/100	39,51	0,45	7,57	-0,20	3,00	0,87
B2918	sloupky - OBDEL	0,000	CO2 - MSÚ/30	-556,39	-0,03	-2,12	0,00	0,00	0,00

Prvek	css	dx [m]	Stav	N [kN]	Vy [kN]	Vz [kN]	Mx [kNm]	My [kNm]	Mz [kNm]
B2894	sloupy - OBDEL	1,500	CO2 - MSÚ/73	-309,13	-1,37	-5,99	-0,03	-4,61	-1,10
B2983	sloupy - OBDEL	0,000	CO2 - MSÚ/39	-331,28	1,22	0,28	0,00	0,81	-0,94
B2920	sloupy - OBDEL	0,000	CO2 - MSÚ/24	-418,96	-0,33	-14,55	-0,01	6,39	0,12
B2894	sloupy - OBDEL	1,500	CO2 - MSÚ/100	-259,56	-1,00	10,67	0,04	10,96	-0,76
B2906	sloupy - OBDEL	0,000	CO2 - MSÚ/25	-125,56	0,36	8,02	-0,09	-4,97	-0,30
B2906	sloupy - OBDEL	0,000	CO2 - MSÚ/24	-312,16	0,80	-9,41	0,12	4,42	-0,72
B2920	sloupy - OBDEL	1,500	CO2 - MSÚ/24	-418,66	-0,33	-14,55	-0,01	-15,43	-0,37
B2919	sloupy - OBDEL	0,000	CO2 - MSÚ/22	-153,66	0,04	-3,17	0,00	11,91	0,02
B2893	sloupy - OBDEL	1,500	CO2 - MSÚ/28	-294,43	0,51	0,29	0,00	0,87	0,96
B2921	sloupy_2 - OBDEL	0,000	CO2 - MSÚ/30	-340,77	-0,37	-3,08	0,01	3,99	0,46
B2982	sloupy_2 - OBDEL	0,000	CO2 - MSÚ/41	-221,20	-1,42	-2,09	-0,02	0,55	1,37
B2895	sloupy_2 - OBDEL	1,495	CO2 - MSÚ/28	-202,32	1,24	1,48	0,00	-1,21	0,70
B2923	sloupy_2 - OBDEL	0,000	CO2 - MSÚ/24	-244,43	-0,01	-11,27	-0,04	4,38	-0,01
B2921	sloupy_2 - OBDEL	0,000	CO2 - MSÚ/22	-85,29	0,06	11,36	-0,04	-12,51	-0,04
B2895	sloupy_2 - OBDEL	0,000	CO2 - MSÚ/21	-127,24	0,91	11,26	-0,06	-13,88	-0,85
B2907	sloupy_2 - OBDEL	0,000	CO2 - MSÚ/38	-184,70	-0,81	8,52	0,05	-9,46	0,69
B2895	sloupy_2 - OBDEL	0,000	CO2 - MSÚ/24	-150,14	0,98	11,30	-0,06	-14,01	-0,92
B2897	sloupy_2 - OBDEL	1,500	CO2 - MSÚ/100	-153,85	0,25	8,86	0,01	10,31	0,19
B2895	sloupy_2 - OBDEL	0,000	CO2 - MSÚ/73	-193,44	1,23	6,66	-0,03	-9,15	-1,16
B2982	sloupy_2 - OBDEL	0,000	CO2 - MSÚ/39	-215,23	-1,41	1,39	0,00	-3,30	1,38
B2900	sloupy_3 - OBDEL	0,000	CO2 - MSÚ/44	-147,75	-0,11	0,24	0,04	-0,36	0,16
B2913	sloupy_3 - OBDEL	1,500	CO2 - MSÚ/3	62,05	0,25	0,36	0,00	0,99	-0,10
B3114	sloupy_3 - OBDEL	0,858	CO2 - MSÚ/101	36,48	-0,50	-1,29	0,01	0,00	0,00
B2930	sloupy_3 - OBDEL	0,000	CO2 - MSÚ/40	-8,25	2,12	-2,65	-0,01	0,98	-0,78
B2927	sloupy_3 - OBDEL	1,500	CO2 - MSÚ/22	-22,69	0,22	-10,73	-0,04	-9,42	0,28
B2925	sloupy_3 - OBDEL	0,000	CO2 - MSÚ/24	-84,93	-0,01	11,68	-0,04	-11,26	-0,01
B2900	sloupy_3 - OBDEL	0,000	CO2 - MSÚ/63	-49,94	-0,14	3,66	-0,06	-5,49	0,21
B2900	sloupy_3 - OBDEL	0,000	CO2 - MSÚ/68	-124,71	-0,01	-2,36	0,06	3,54	0,02
B2925	sloupy_3 - OBDEL	0,000	CO2 - MSÚ/49	-27,99	-0,01	11,61	-0,04	-11,39	-0,02
B2898	sloupy_3 - OBDEL	0,000	CO2 - MSÚ/25	-39,27	0,07	-8,24	0,00	8,49	-0,12
B2929	sloupy_3 - OBDEL	1,500	CO2 - MSÚ/40	-8,42	-0,36	-0,62	-0,01	0,97	-0,78
B2963	sloupy_3 - OBDEL	0,000	CO2 - MSÚ/88	33,55	-0,41	-2,10	0,00	2,76	0,67
B3444	zábradlí - KRUH	0,000	CO2 - MSÚ/102	-14,05	0,00	0,08	-0,09	0,00	0,00
B3450	zábradlí - KRUH	0,000	CO2 - MSÚ/37	30,44	0,64	2,18	-0,01	0,00	0,00
B3454	zábradlí - KRUH	3,896	CO2 - MSÚ/2	20,89	-3,49	-2,44	-0,36	2,72	-2,31
B3453	zábradlí - KRUH	0,000	CO2 - MSÚ/4	17,29	3,49	2,43	0,36	2,77	-2,32
B3453	zábradlí - KRUH	3,896	CO2 - MSÚ/66	16,48	-2,31	-3,85	0,37	0,00	0,00
B3452	zábradlí - KRUH	0,000	CO2 - MSÚ/66	19,13	2,11	3,85	-0,37	0,00	0,00
B3452	zábradlí - KRUH	0,000	CO2 - MSÚ/103	22,88	2,12	3,85	-0,37	0,00	0,00
B3453	zábradlí - KRUH	0,000	CO2 - MSÚ/66	17,24	3,49	2,43	0,37	2,78	-2,30
B5026	zábradlí - KRUH	0,000	CO2 - MSÚ/45	17,90	0,81	1,20	-0,03	-0,41	-0,38
B3453	zábradlí - KRUH	1,391	CO2 - MSÚ/66	16,97	1,42	0,18	0,37	4,59	1,12
B5020	zábradlí - KRUH	1,652	CO2 - MSÚ/41	14,85	-2,56	-1,22	-0,05	0,18	-2,88
B3453	zábradlí - KRUH	2,226	CO2 - MSÚ/104	26,85	0,05	-1,10	0,33	4,06	1,99
B3666	ztužidla - CFCHS88.9X3	0,000	CO2 - MSÚ/12	-89,92	0,00	0,07	-0,02	0,00	0,00
B3668	ztužidla - CFCHS88.9X3	2,426	CO2 - MSÚ/12	84,65	0,00	-0,07	0,05	0,00	0,00
B3772	ztužidla - CFCHS88.9X3	3,914	CO2 - MSÚ/65	-2,73	0,00	-0,16	0,00	0,00	0,00

Prvek	css	dx [m]	Stav	N [kN]	Vy [kN]	Vz [kN]	Mx [kNm]	My [kNm]	Mz [kNm]
B3772	ztužidla - CFCHS88.9X3	0,000	CO2 - MSÚ/65	-2,83	0,00	0,16	0,00	0,00	0,00
B5116	ztužidla - CFCHS88.9X3	0,000	CO2 - MSÚ/57	-11,32	0,00	0,06	-0,13	0,00	0,00
B5093	ztužidla - CFCHS88.9X3	0,000	CO2 - MSÚ/24	-21,19	0,00	0,06	0,16	0,00	0,00
B3772	ztužidla - CFCHS88.9X3	1,957	CO2 - MSÚ/65	-2,78	0,00	0,00	0,00	0,15	0,00
B4621	Fiktivní prut - CFCHS127X6	0,000	CO2 - MSÚ/61	-27,57	0,00	0,00	0,00	0,00	0,00
B4822	Fiktivní prut - CFCHS127X6	0,000	CO2 - MSÚ/6	37,08	0,00	0,00	0,00	0,00	0,00
B5074	zábradelní sloupky - KRUH	1,977	CO2 - MSÚ/66	-7,62	0,00	-0,01	0,00	0,00	0,00
B5074	zábradelní sloupky - KRUH	1,977	CO2 - MSÚ/65	-1,53	0,00	-0,01	0,00	0,00	0,00
B5074	zábradelní sloupky - KRUH	0,000	CO2 - MSÚ/65	-1,50	0,00	0,01	0,00	0,00	0,00
B5067	zábradelní sloupky - KRUH	0,000	CO2 - MSÚ/13	-6,16	0,00	0,00	0,00	0,00	0,00
B5069	zábradelní sloupky - KRUH	0,000	CO2 - MSÚ/22	-0,25	0,00	0,00	0,00	0,00	0,00
B5074	zábradelní sloupky - KRUH	0,989	CO2 - MSÚ/65	-1,51	0,00	0,00	0,00	0,00	0,00

21. Posudek oceli

Lineární výpočet, Extrém : Průřez

Výběr : Vše

Kombinace : CO2 - MSÚ

Prvek	css	mat	Stav	dx [m]	jed.posudek [-]	pevnost [-]	stab. posudek [-]
B170	Výtah_vodorovné_5 - UPE300	S 355	CO2 - MSÚ/75	0,000	0,44	0,44	0,10
B859	Výtah_vodorovné_1 - CFRHS100X100X6	S 355	CO2 - MSÚ/76	1,148	0,58	0,58	0,00
B646	Výtah_vodorovné_2 - CFRHS100X100X3	S 355	CO2 - MSÚ/2	1,148	0,50	0,50	0,00
B354	Výtah_svislé_3 - CFRHS140X140X4	S 355	CO2 - MSÚ/168	0,000	0,39	0,39	0,00
B327	3.NP_svislé - HEA280	S 355	CO2 - MSÚ/73	1,500	0,49	0,49	0,44
B422	2.NP_svislé - HEA340	S 355	CO2 - MSÚ/76	0,000	0,45	0,45	0,00
B826	Výtah_svislé_2 - CFRHS140X140X6	S 355	CO2 - MSÚ/13	0,000	0,85	0,42	0,85
B619	Výtah_vodorovné_4 - UPE360	S 355	CO2 - MSÚ/28	0,000	0,42	0,42	0,00
B709	1.NP_svislé - HEA400	S 355	CO2 - MSÚ/75	1,500	0,39	0,39	0,00
B3225	Výtah_vodorovné_3 - UPE400	S 355	CO2 - MSÚ/57	0,000	0,69	0,43	0,69
B1222	Výtah_svislé - CFRHS140X140X8	S 355	CO2 - MSÚ/13	0,000	0,93	0,58	0,93
B3690	ztužidla - CFCHS88.9X3	S 355	CO2 - MSÚ/6	0,000	0,81	0,25	0,81
B4621	Fiktivní prut - CFCHS127X6	S 355	CO2 - MSÚ/61	0,000	0,10	0,03	0,10

22. Data o štíhlosti - dřevo

Lineární výpočet

Prvek	Jméno průřezu	Část	Posuvné y Posuvné z	Ly [m] Lz [m]	ky [-] kz [-]	ly [m] lz [m]	Lam y [-] Lam z [-]	e0,y [mm] e0,z [mm]	lyz [m]	I LTB [m]
B5012	2.NP_svislé	1	Ano	0,215	1,00	0,215	1,50	0,0	0,215	0,215
			Ne	0,215	1,00	0,215	2,89	0,0		
B655	1.NP_svislé	1	Ano	13,500	1,00	13,500	80,16	0,0	1,500	1,500
			Ne	1,500	1,00	1,500	20,44	0,0		
B19	Žebra vodorovná_masivnější	1	Ano	3,133	1,00	3,133	19,73	0,0	3,133	3,133
			Ne	3,133	1,00	3,133	45,22	0,0		
B2107	Žebra svislá	1	Ano	1,502	10,44	15,683	90,54	0,0	1,502	1,502
			Ne	1,502	1,00	1,502	26,01	0,0		
B3250	Žebra svislá_4	1	Ano	1,507	10,41	15,694	169,89	0,0	1,507	1,507
			Ne	1,507	1,00	1,507	26,10	0,0		
B234	3.NP_svislé	2	Ano	3,002	1,00	3,002	25,30	0,0	0,002	0,002
			Ne	0,002	1,00	0,002	0,02	0,0		
B4780	Fiktivní prut	1	Ano	5,585	1,00	5,585	130,40	0,0	5,585	5,585
			Ne	5,585	1,00	5,585	130,40	0,0		
B3034	seříznutí_vodorovné masivnější	1	Ano	3,884	1,00	3,884	29,25	0,0	3,884	3,884
			Ne	3,884	2,00	7,768	112,12	0,0		
B3095	seříznutí_vodorovné pruty	1	Ano	4,899	1,00	4,899	121,22	0,0	4,899	4,899
			Ne	4,899	1,00	4,899	169,71	0,0		

23. Relativní deformace

Lineární výpočet, Extrém : Globální, Systém : Hlavní
Výběr : Vše
Kombinace : CO3 - MSP

Prvek	dx [m]	Stav - kombinace	uy [mm]	Rel uy [1/xx]	uz [mm]	Rel uz [1/xx]
B3453	2,226	CO3 - MSP/115	-2,7	1/1444	-7,4	1/528
B2455	1,918	CO3 - MSP/105	3,5	1/1110	-0,6	1/6473
B2455	1,918	CO3 - MSP/105	3,5	1/1110	-0,6	1/6473
B421	0,600	CO3 - MSP/124	0,0	1/10000	-63,6	1/201
B2899	0,900	CO3 - MSP/141	0,0	1/10000	6,5	1/698
B2919	0,900	CO3 - MSP/141	0,0	1/10000	6,0	1/501

24. Posudek dřeva podle MSÚ

Lineární výpočet, Extrém : Průřez
Výběr : Vše
Kombinace : CO2 - MSÚ

Posudek dřeva podle MSÚ

Nosník	Průřez	Materiál	dx [m]	Zatěžovací stav	Jedn. posudek [-]	Posudek únosnosti [-]	Posudek stability [-]	CH/V/P
B3541	Žebra vodorovná_masivnější - OBDEL	GL28h	0,000	CO2 - MSÚ/1	0,96	0,96	0,00	-
B3473	3.NP strop_vodorovné - OBDEL	GL28h	0,000	CO2 - MSÚ/2	0,49	0,49	0,00	-

Nosník	Průřez	Materiál	dx [m]	Zatěžovací stav	Jedn. posudek [-]	Posudek únosnosti [-]	Posudek stability [-]	CH/V/P
B874	1.NP strop_vodorovné - OBDEL	GL28h	1,762	CO2 - MSÚ/2	0,57	0,57	0,54	-
B1628	seříznutí oblouk - OBDEL	GL28h	1,850	CO2 - MSÚ/3	0,83	0,47	0,83	-
B4996	2.NP strop_vodorovné - OBDEL	GL28h	1,762	CO2 - MSÚ/2	0,57	0,57	0,57	-
B2583	Žebra vodorovná - OBDEL	GL28h	1,175	CO2 - MSÚ/4	0,67	0,28	0,67	-
B2105	Žebra svislá - OBDEL	GL28h	1,549	CO2 - MSÚ/5	0,95	0,39	0,95	-
B2110	Žebra svislá_2 - OBDEL	GL28h	1,549	CO2 - MSÚ/5	0,97	0,35	0,97	-
B2174	Žebra svislá_3 - OBDEL	GL28h	0,000	CO2 - MSÚ/6	0,89	0,17	0,89	-
B2177	Žebra svislá_4 - OBDEL	GL28h	2,884	CO2 - MSÚ/6	0,72	0,10	0,72	-
B3116	seříznutí_vodorovné pruty - OBDEL	GL28h	1,500	CO2 - MSÚ/7	0,43	0,14	0,43	-
B3042	seříznutí_vodorovné masivnější - OBDEL	GL28h	0,000	CO2 - MSÚ/8	0,77	0,77	0,74	-
B2920	sloupy - OBDEL	GL28h	1,500	CO2 - MSÚ/9	0,93	0,67	0,93	-
B2895	sloupy_2 - OBDEL	GL28h	0,000	CO2 - MSÚ/9	0,85	0,55	0,85	-
B2898	sloupy_3 - OBDEL	GL28h	0,000	CO2 - MSÚ/9	0,83	0,55	0,83	-
B3453	zábradlí - KRUH	C24	1,948	CO2 - MSÚ/10	0,66	0,66	0,40	-
B5074	zábradelní sloupky - KRUH	C24	0,989	CO2 - MSÚ/11	0,75	0,16	0,75	-

25. Posudek dřeva podle MSP

Lineární výpočet, Extrém : Průřez

Výběr : Vše

Kombinace : CO3 - MSP

Prvek	Průřez Materiál	dx [m]	Zatěžovací stav k_{def} [-]	Jedn. posudek [-]	uy inst [mm] uz inst [mm]	Rel uy inst [1/xx] Rel uz inst [1/xx]	Posudek uy inst [-] Posudek uz inst [-]	uy fin [mm] uz fin [mm]	Rel uy fin [1/xx] Rel uz fin [1/xx]	Posudek uy fin [-] Posudek uz fin [-]
B3540	Žebra vodorovná_masivnější - OBDEL GL28h	1,683	CO3 - MSP/1 0,80	0,39	0,0 -3,1	1/10000 1/1284	0,00 0,39	0,0 -4,9	1/10000 1/799	0,00 0,38
B3473	3.NP strop_vodorovné - OBDEL GL28h	1,384	CO3 - MSP/1 0,80	0,73	0,0 -4,0	1/10000 1/687	0,00 0,73	0,0 -6,4	1/10000 1/434	0,00 0,69
B3534	1.NP strop_vodorovné - OBDEL GL28h	1,779	CO3 - MSP/2 0,80	0,96	0,0 -6,9	1/10000 1/519	0,00 0,96	0,0 -10,9	1/10000 1/328	0,00 0,92
B1628	seříznutí oblouk - OBDEL GL28h	1,233	CO3 - MSP/3 0,80	0,21	-0,8 0,1	1/2429 1/10000	0,21 0,02	-1,1 0,1	1/1662 1/10000	0,18 0,02
B4996	2.NP strop_vodorovné - OBDEL GL28h	1,762	CO3 - MSP/4 0,80	0,99	0,0 -7,0	1/10000 1/506	0,00 0,99	0,0 -11,0	1/10000 1/320	0,00 0,94
B2455	Žebra vodorovná - OBDEL GL28h	1,918	CO3 - MSP/5 0,80	0,45	3,5 -0,6	1/1110 1/6473	0,45 0,08	5,2 -0,9	1/736 1/4315	0,41 0,07
B2106	Žebra svislá - OBDEL	0,759	CO3 - MSP/6	0,09	0,1	1/10000	0,02	0,1	1/10000	0,01

Prvek	Průřez Materiál	dx [m]	Zatěžovací stav k_{def} [-]	Jedn. posudek [-]	uy inst [mm] uz inst [mm]	Rel uy inst [1/xx] Rel uz inst [1/xx]	Posudek uy inst [-] Posudek uz inst [-]	uy fin [mm] uz fin [mm]	Rel uy fin [1/xx] Rel uz fin [1/xx]	Posudek uy fin [-] Posudek uz fin [-]
	GL28h		0,80		0,3	1/5598	0,09	0,4	1/3875	0,08
B3122	Žebra svislá_2 - OBDEL	0,840	CO3 - MSP/7	0,07	-0,1	1/10000	0,03	-0,1	1/10000	0,02
	GL28h		0,80		0,2	1/7194	0,07	0,3	1/5188	0,06
B3143	Žebra svislá_3 - OBDEL	0,628	CO3 - MSP/5	0,12	0,3	1/4207	0,12	0,4	1/3264	0,09
	GL28h		0,80		-0,1	1/10000	0,04	-0,1	1/8774	0,03
B2132	Žebra svislá_4 - OBDEL	1,868	CO3 - MSP/8	0,41	-0,2	1/10000	0,02	-0,2	1/10000	0,01
	GL28h		0,80		3,0	1/1233	0,41	4,0	1/940	0,32
B3095	seříznutí_vodorovné pruty - OBDEL	2,450	CO3 - MSP/9	0,16	0,0	1/10000	0,00	0,0	1/10000	0,00
	GL28h		0,80		-1,5	1/3300	0,15	-2,7	1/1834	0,16
B3041	seříznutí_vodorovné masivnější - OBDEL	2,299	CO3 - MSP/10	0,95	0,1	1/10000	0,01	0,1	1/10000	0,01
	GL28h		0,80		-9,3	1/529	0,95	-15,0	1/327	0,92
B2919	sloupy - OBDEL	0,900	CO3 - MSP/11	1,00	0,0	1/10000	0,00	0,0	1/10000	0,00
	GL28h		0,80		6,0	1/501	1,00	6,8	1/442	0,68
B2922	sloupy_2 - OBDEL	0,000	CO3 - MSP/1	0,38	0,0	0	0,00	0,0	0	0,00
	GL28h		0,80		2,3	1/1302	0,38	3,2	1/950	0,32
B2926	sloupy_3 - OBDEL	0,750	CO3 - MSP/12	0,79	0,0	1/10000	0,00	0,0	1/10000	0,00
	GL28h		0,80		-7,1	1/634	0,79	-7,7	1/582	0,52
B3453	zábradlí - KRUH	1,948	CO3 - MSP/4	0,99	-2,3	1/1729	0,29	-3,5	1/1111	0,27
	C24		0,80		-7,7	1/505	0,99	-12,1	1/321	0,93
B5074	zábradelní sloupky - KRUH	0,989	CO3 - MSP/13	0,04	0,0	1/10000	0,00	0,0	1/10000	0,00
	C24		0,80		-0,2	1/10000	0,04	-0,3	1/7086	0,04

26. Deformace na prutu

Lineární výpočet, Extrém : Globální

Výběr : Vše

Kombinace : CO3 - MSP

Prvek	dx [m]	Stav	ux [mm]	uy [mm]	uz [mm]	fix [mrad]	fiy [mrad]	fiz [mrad]	Výslednice [mm]
B2609	0,000	CO3 - MSP/172	-12,9	-1,0	-0,9	-0,4	-0,5	0,2	13,0
B5066	0,000	CO3 - MSP/123	39,1	-0,2	1,8	0,2	2,3	0,1	39,2
B2614	0,000	CO3 - MSP/172	2,2	-17,6	-14,2	-0,3	-1,3	0,6	22,7
B2685	0,000	CO3 - MSP/172	4,9	15,3	0,2	0,0	0,0	-2,5	16,1
B1779	0,979	CO3 - MSP/128	1,5	0,8	-69,9	-1,6	0,0	0,0	69,9
B2177	2,884	CO3 - MSP/131	-3,7	-4,5	14,2	-0,1	0,0	0,0	15,3
B3540	0,000	CO3 - MSP/125	-0,1	0,4	-39,0	-41,6	-5,4	0,0	39,0
B1682	3,524	CO3 - MSP/127	1,8	-3,6	-15,6	16,4	-4,7	0,0	16,1
B1806	1,566	CO3 - MSP/123	3,2	2,4	-27,1	-2,6	-20,1	0,0	27,4
B1813	0,000	CO3 - MSP/110	-4,1	1,5	-27,0	-2,6	20,2	0,0	27,3
B3234	0,404	CO3 - MSP/131	1,0	-2,9	3,2	-0,3	-0,4	-7,5	4,4
B3223	0,390	CO3 - MSP/131	-7,0	1,8	5,2	-2,2	-1,0	7,4	8,9

27. Deformace na prutu - ztužidla

Lineární výpočet, Extrém : Průřez, Systém : Hlavní

Výběr : Vše

Kombinace : CO3 - MSP

Průřez : ztužidla - CFCHS88.9X3

Prvek	dx [m]	Stav	ux [mm]	uy [mm]	uz [mm]	fix [mrad]	fiy [mrad]	fiz [mrad]
B3692	0,000	CO3 - MSP/146	-10,7	-1,6	-2,4	0,1	-1,3	0,1
B3780	0,000	CO3 - MSP/172	12,2	0,7	-16,5	-0,4	-0,6	0,1
B5094	0,000	CO3 - MSP/146	0,4	-14,0	-4,2	-1,0	0,4	1,9
B5088	2,338	CO3 - MSP/146	-4,2	14,0	-0,4	0,1	-0,3	1,3
B3639	2,991	CO3 - MSP/172	8,3	0,8	-18,6	-0,7	0,3	0,1
B3569	2,991	CO3 - MSP/131	-3,9	2,5	12,6	-0,3	-1,9	0,5
B3690	0,000	CO3 - MSP/182	-5,7	5,6	1,9	-3,2	0,6	0,3
B3668	0,000	CO3 - MSP/139	0,0	0,0	0,0	2,3	1,0	-2,2
B3779	3,911	CO3 - MSP/113	6,2	-1,5	-6,5	0,4	-3,2	-0,2
B3773	0,000	CO3 - MSP/131	-5,9	-4,1	11,3	-0,1	3,6	0,3
B5094	0,000	CO3 - MSP/141	-2,6	8,2	-2,5	1,5	0,3	-2,9
B5087	0,000	CO3 - MSP/146	-3,9	5,6	-1,0	-1,4	0,0	2,3

28. Deformace na prutu - HEA400

Lineární výpočet, Extrém : Průřez, Systém : Hlavní

Výběr : Vše

Kombinace : CO3 - MSP

Průřez : 1.NP_svislé - HEA400

Prvek	dx [m]	Stav	ux [mm]	uy [mm]	uz [mm]	fix [mrad]	fiy [mrad]	fiz [mrad]
B2791	0,000	CO3 - MSP/174	-3,6	0,0	-0,7	0,0	0,6	0,0
B749	1,500	CO3 - MSP/166	3,3	0,4	-1,8	0,0	-10,4	0,0
B670	0,300	CO3 - MSP/174	0,4	-3,4	-9,5	0,0	4,4	0,0
B777	0,000	CO3 - MSP/174	0,3	3,4	-1,0	0,1	4,8	0,0
B709	0,900	CO3 - MSP/138	2,0	-1,0	-55,2	0,5	-0,2	0,0
B3515	1,500	CO3 - MSP/175	-3,0	-0,3	0,0	-0,1	-0,6	0,0
B2808	0,000	CO3 - MSP/140	0,2	1,0	-13,8	-5,0	2,9	0,0
B3498	0,000	CO3 - MSP/110	0,7	0,7	-6,0	8,2	0,7	0,0
B713	1,500	CO3 - MSP/115	0,3	-0,6	-1,1	0,1	-12,9	0,1
B705	0,000	CO3 - MSP/138	2,0	-1,0	-4,8	3,9	11,3	0,0
B794	1,500	CO3 - MSP/141	-0,3	2,8	-1,1	-0,3	-10,3	-0,2
B668	1,500	CO3 - MSP/141	-0,3	-3,0	-1,1	0,3	-10,3	0,2

29. Deformace na prutu - HEA340

Lineární výpočet, Extrém : Globální

Výběr : Vše

Kombinace : CO3 - MSP

Průřez : 2.NP_svislé - HEA340

Prvek	dx [m]	Stav	ux [mm]	uy [mm]	uz [mm]	fix [mrad]	fiy [mrad]	fiz [mrad]	Výslednice [mm]
B390	0,000	CO3 - MSP/149	-5,8	0,7	-5,8	3,5	12,0	0,0	8,2
B4965	0,809	CO3 - MSP/149	5,9	-0,5	-1,3	1,0	-1,1	0,0	6,1
B444	0,000	CO3 - MSP/149	-0,7	-5,8	-3,7	-1,5	12,1	0,0	6,9

Prvek	dx [m]	Stav	ux [mm]	uy [mm]	uz [mm]	fix [mrad]	fiy [mrad]	fiz [mrad]	Výslednice [mm]
B559	0,300	CO3 - MSP/149	0,8	6,0	-27,8	-1,5	-11,2	0,0	28,5
B412	0,300	CO3 - MSP/138	1,0	0,0	-69,5	0,0	0,5	0,0	69,5
B479	0,809	CO3 - MSP/152	1,0	-3,9	-0,2	0,6	-6,8	0,0	4,0
B490	1,500	CO3 - MSP/121	0,2	1,9	-22,1	-6,9	4,6	0,0	22,1
B544	1,500	CO3 - MSP/132	-0,9	-1,0	-22,0	6,9	4,5	0,0	22,1
B425	0,809	CO3 - MSP/127	-3,3	-2,2	-1,9	0,3	-16,9	0,0	4,4
B453	0,000	CO3 - MSP/123	-1,0	-3,9	-3,9	-0,7	14,9	0,0	5,6
B4978	0,000	CO3 - MSP/146	3,6	4,9	-3,3	-0,9	0,4	-0,1	6,9
B5013	0,000	CO3 - MSP/136	5,0	-0,1	-1,1	0,4	0,3	0,1	5,2

30. Deformace na prutu - HEA280

Lineární výpočet, Extrém : Globální

Výběr : Vše

Kombinace : CO3 - MSP

Průřez : 3.NP_svislé - HEA280

Prvek	dx [m]	Stav	ux [mm]	uy [mm]	uz [mm]	fix [mrad]	fiy [mrad]	fiz [mrad]	Výslednice [mm]
B295	1,500	CO3 - MSP/153	-10,5	0,1	-6,0	0,0	-12,7	0,0	12,1
B2879	0,000	CO3 - MSP/146	10,3	0,6	-12,4	8,9	-2,0	0,0	16,1
B262	0,600	CO3 - MSP/153	-0,2	-10,4	-26,7	-0,3	9,3	0,0	28,6
B331	0,750	CO3 - MSP/153	0,2	10,3	-12,5	0,2	11,1	0,0	16,2
B292	0,750	CO3 - MSP/123	-8,7	0,1	-56,8	0,0	0,2	0,0	57,5
B3465	1,500	CO3 - MSP/171	8,2	-0,3	0,7	0,1	-1,3	0,0	8,2
B245	1,500	CO3 - MSP/110	7,2	-4,4	-25,4	-13,0	-12,8	0,0	26,8
B215	1,500	CO3 - MSP/123	6,2	5,9	-25,3	12,9	-12,8	0,0	26,7
B288	1,500	CO3 - MSP/121	0,6	-2,0	-3,0	0,2	-15,9	0,0	3,7
B324	0,000	CO3 - MSP/110	-4,3	7,3	-4,9	0,9	14,0	0,0	9,8
B230	1,500	CO3 - MSP/135	2,3	8,3	-1,9	-1,0	-12,7	-0,1	8,8
B260	1,500	CO3 - MSP/135	2,1	-8,5	-1,9	1,0	-12,7	0,1	9,0

31. Deformace na prutu - Svislé žebro

Lineární výpočet, Extrém : Globální

Výběr : Vše

Kombinace : CO3 - MSP

Průřez : Žebra svislá_4 - OBDEL (200; 320)

Prvek	dx [m]	Stav	ux [mm]	uy [mm]	uz [mm]	fix [mrad]	fiy [mrad]	fiz [mrad]	Výslednice [mm]
B3242	1,506	CO3 - MSP/149	-11,3	1,1	-1,6	0,9	2,6	-0,1	11,4
B3215	0,000	CO3 - MSP/172	14,8	-0,2	-10,2	0,0	-2,4	-0,1	18,0
B2195	0,287	CO3 - MSP/172	-0,9	-12,9	-0,5	0,3	-0,4	0,0	13,0
B2365	0,287	CO3 - MSP/172	-0,5	13,2	-0,9	-0,4	-0,4	0,0	13,2
B2279	2,884	CO3 - MSP/167	4,2	-0,1	-23,5	0,0	-0,1	0,0	23,8
B2177	2,884	CO3 - MSP/131	-3,7	-4,5	14,2	-0,1	0,0	0,0	15,3
B2137	0,000	CO3 - MSP/135	-7,1	3,8	1,4	-2,7	-0,9	1,0	8,2
B3207	1,506	CO3 - MSP/131	-1,8	6,7	-4,6	1,8	1,6	-0,3	8,3
B2131	0,000	CO3 - MSP/154	-3,1	-4,4	-3,6	-0,7	-5,2	0,0	6,5
B3229	1,502	CO3 - MSP/131	-7,8	-2,4	-2,6	-0,3	5,3	-0,2	8,5

Prvek	dx [m]	Stav	ux [mm]	uy [mm]	uz [mm]	fix [mrad]	fiy [mrad]	fiz [mrad]	Výslednice [mm]
B2125	0,000	CO3 - MSP/105	-4,1	-4,9	-2,1	1,1	0,5	-1,3	6,7
B2137	0,000	CO3 - MSP/105	-5,6	0,3	1,6	-2,5	-1,7	1,1	5,9

32. Výkaz materiálu

Jméno	Hmotnost [kg]	Povrch [m²]	Objem [m³]
Celkový součet :	199803,8	5254,717	1,6802e+02

Materiál	Hmotnost [kg]	Povrch [m²]	Objemová hmotnost [kg/m³]	Objem [m³]
S 355	138255,5	2672,820	7850,0	1,7612e+01
C24	689,8	43,694	350,0	1,9707e+00
GL28h	60858,4	2538,206	410,0	1,4843e+02

33. Vnitřní síly na prutu - žebro_1

Lineární výpočet, Extrém : Průřez, Systém : Hlavní

Výběr : Vše

Kombinace : CO2 - MSÚ

Průřez : Žebra svislá - OBDEL (200; 600)

Prvek	css	dx [m]	Stav	N [kN]	Vz [kN]	My [kNm]
B2105	Žebra svislá - OBDEL	0,000	CO2 - MSÚ/26	-609,38	-46,48	0,10
B2203	Žebra svislá - OBDEL	1,502	CO2 - MSÚ/11	50,82	-1,25	-2,04
B2407	Žebra svislá - OBDEL	1,502	CO2 - MSÚ/3	-479,65	-52,95	-7,92
B2406	Žebra svislá - OBDEL	1,502	CO2 - MSÚ/3	-567,74	78,62	72,79
B2105	Žebra svislá - OBDEL	1,549	CO2 - MSÚ/26	-608,55	-46,27	-71,75
B3153	Žebra svislá - OBDEL	1,502	CO2 - MSÚ/4	-460,13	64,66	77,87

34. Vnitřní síly na prutu - žebro_2

Lineární výpočet, Extrém : Průřez, Systém : Hlavní

Výběr : Vše

Kombinace : CO2 - MSÚ

Průřez : Žebra svislá_2 - OBDEL (200; 500)

Prvek	css	dx [m]	Stav	N [kN]	Vz [kN]	My [kNm]
B2408	Žebra svislá_2 - OBDEL	0,000	CO2 - MSÚ/3	-429,94	-7,68	-7,89
B2207	Žebra svislá_2 - OBDEL	1,680	CO2 - MSÚ/32	73,94	3,49	8,76
B2410	Žebra svislá_2 - OBDEL	1,602	CO2 - MSÚ/85	-307,38	-34,57	-16,70
B2358	Žebra svislá_2 - OBDEL	0,000	CO2 - MSÚ/6	-361,95	37,37	-23,73
B3122	Žebra svislá_2 - OBDEL	1,680	CO2 - MSÚ/3	-242,41	-7,02	-30,12
B3156	Žebra svislá_2 - OBDEL	1,549	CO2 - MSÚ/2	-297,53	31,38	46,00

35. Vnitřní síly na prutu - žebro_3

Lineární výpočet, Extrém : Průřez, Systém : Hlavní

Výběr : Vše

Kombinace : CO2 - MSÚ

Průřez : Žebra svislá_3 - OBDEL (200; 420)

Prvek	css	dx [m]	Stav	N [kN]	Vz [kN]	My [kNm]
B3134	Žebra svislá_3 - OBDEL	0,000	CO2 - MSÚ/3	-269,43	-6,65	13,76
B2209	Žebra svislá_3 - OBDEL	1,977	CO2 - MSÚ/32	81,74	-5,75	4,74
B3142	Žebra svislá_3 - OBDEL	0,633	CO2 - MSÚ/3	-124,58	-17,21	-10,84
B3133	Žebra svislá_3 - OBDEL	0,000	CO2 - MSÚ/85	-261,00	26,51	-24,86
B3123	Žebra svislá_3 - OBDEL	0,000	CO2 - MSÚ/3	-241,59	21,09	-30,12
B2379	Žebra svislá_3 - OBDEL	0,000	CO2 - MSÚ/63	36,42	-13,54	33,11

36. Vnitřní síly na prutu - žebro_4

Lineární výpočet, Extrém : Průřez, Systém : Hlavní

Výběr : Vše

Kombinace : CO2 - MSÚ

Průřez : Žebra svislá_4 - OBDEL (200; 320)

Prvek	css	dx [m]	Stav	N [kN]	Vz [kN]	My [kNm]
B2125	Žebra svislá_4 - OBDEL	0,000	CO2 - MSÚ/6	-119,24	0,26	8,06
B3207	Žebra svislá_4 - OBDEL	1,506	CO2 - MSÚ/32	56,05	-4,70	0,00
B3239	Žebra svislá_4 - OBDEL	1,507	CO2 - MSÚ/80	-9,23	-11,01	0,00
B3229	Žebra svislá_4 - OBDEL	0,000	CO2 - MSÚ/63	-26,55	12,28	-18,11
B2131	Žebra svislá_4 - OBDEL	2,253	CO2 - MSÚ/96	-39,86	-8,68	-18,14
B2131	Žebra svislá_4 - OBDEL	2,253	CO2 - MSÚ/80	-22,03	7,90	17,68